

ตารางที่ 3.8 ก) (ต่อ) กลุ่มโรคกระเพาะอักเสบ (Gastritis)

Spec. No	Histology test	PCR test												
		860bp	cagA	iceA1	iceA2	vacA subtypes								
						vacAs1 (201bp)	vacAs1 (259bp)	vacA s1a	vacA s1b	vacA s1c	vacA s2	vacAm m1	vacAm m2	vacA m2
N61	++	+	-	+	-	+	+	-	-	+	-	+	-	-
N67	++	+	+	+	-	+	+	+	-	+	-	-	-	+
N69A	+	+	+	+	-	+	+	+	-	+	-	+	-	-
N69B	++	+	+	+	-	+	+	+	-	+	-	+	-	-
N71	++	+	+	+	-	+	+	+	-	-	-	-	-	-
N72	+++	+	+	+	-	+	+	+	-	-	-	-	-	+
N75	++	+	+	-	+	+	+	-	-	+	-	-	+	+
N77	++	+	+	-	+	+	+	+	-	-	-	+	-	-
N79	++	+	+	-	+	-	-	-	-	+	-	-	-	-
N80	++	+	+	-	-	+	+	+	-	-	-	+	-	-
N81	+++	+	+	-	+	+	+	-	-	+	-	+	-	-
N83	+	+	+	-	-	+	+	+	-	+	-	+	-	-
N86	++	+	+	+	-	+	+	+	-	-	-	-	+	+
N87	+	+	+	+	-	+	+	+	-	-	-	-	+	+
N88	+++	+	+	-	+	+	+	-	-	+	-	+	-	-
N90	+++	+	+	-	-	+	+	+	-	+	-	+	-	-

จัดทำโดย ภาควิชาชีวเคมี คณะวิทยาศาสตร์ มหาวิทยาลัยเชียงใหม่

Copyright© by Chiang Mai University  
All rights reserved

ตารางที่ 3.8 ข) กลุ่มโรคแผลในกระเพาะอาหาร (Peptic ulcer)

Spec. No	Histology test	PCR test												
		vacA subtypes												
		860bp	cagA	iceA1	iceA2	vacAs1 (201bp)	vacAs1 (259bp)	vacA s1a	vacA s1b	vacA s1c	vacA s2	vacAm m1	vacAm m2	vacA m2
N15	+++	+	-	-	-	+	-	-	-	-	-	-	-	-
N22	+++	+	+	+	-	+	+	+	-	+	-	-	+	+
N45	++	+	+	+	-	+	+	+	-	+	-	+	-	-
N48	++	+	+	+	-	+	+	+	-	-	-	+	-	-
N63	+++	+	+	-	+	+	+	-	-	+	-	+	-	+
N66	+++	+	+	+	-	+	+	+	-	+	-	-	+	+
N82	+++	+	+	+	-	+	+	+	-	-	-	-	+	+
N92	+++	+	+	-	-	+	+	+	-	+	-	-	-	-

ตารางที่ 3.8 ค) กลุ่มโรคแผลในลำไส้ส่วนต้น (Duodenal ulcer)

Spec. No	Histology test	PCR test												
		vacA subtypes												
		860bp	cagA	iceA1	iceA2	vacAs1 (201bp)	vacAs1 (259bp)	vacA s1a	vacA s1b	vacA s1c	vacA s2	vacAm m1	vacAm m2	vacA m2
N11	+++	+	-	+	-	+	+	+	-	+	-	+	-	-
N13	+++	+	+	+	-	-	+	+	-	+	-	-	-	-
N21	++	+	+	+	-	+	+	+	-	+	-	-	+	+
N29	+++	+	+	+	-	+	+	+	-	+	-	+	-	-
N40	+++	+	+	-	-	+	+	+	-	+	-	+	-	-
N74	+++	+	+	-	+	+	+	-	-	+	-	-	+	+

ตารางที่ 3.8 ง) กลุ่มโรคมะเร็งกระเพาะอาหาร (Gastric cancer)

Spec. No	Histology test	PCR test												
		vacA subtypes												
		860bp	cagA	iceA1	iceA2	vacAs1 (201bp)	vacAs1 (259bp)	vacA s1a	vacA s1b	vacA s1c	vacA s2	vacAm m1	vacAm m2	vacA m2
N7	++	+	-	-	-	+	+	-	-	-	-	-	-	-
N10	+++	+	+	+	-	+	+	+	-	-	-	+	-	-
N28	++	+	+	+	-	+	+	-	-	+	-	+	-	-
N33	++	+	+	-	+	+	+	+	-	-	-	+	-	-

ลิขสิทธิ์มหาวิทยาลัยเชียงใหม่  
 Copyright© by Chiang Mai University  
 All rights reserved

ตารางที่ 3.9 ผลการตรวจยืนยัน cagA, vacA subtypes s และ m และ iceA ของเชื้อ *H. pylori* จาก DNA ที่สกัดจากเนื้อเยื่อกระเพาะผู้ป่วยที่ผ่านการทำพาราฟิน โดยใช้ primer ที่ออกแบบจากลำดับเบสสายพันธุ์ที่พบในคนไทย

ตารางที่ 3.9 ก) กลุ่มโรคกระเพาะอักเสบ (Gastritis)

Spec. No	Histology test	PCR test					
		vacA subtypes					
		cagA	iceA1	vacAs1 (201bp)	vacAs1 (259bp)	vacAs1a	vacAm2
N9	+++	+	+	+	+	+	-
N23	++	+	+	+	+	+	-
N24	++	+	-	+	+	+	-
N30	++	+	-	+	+	+	+
N31b	+++	+	-	+	+	+	-
N34	+++	+	+	+	+	+	-
N41	+++	+	-	+	+	+	-
N42	+++	+	+	+	+	+	+
N43	+++	+	-	+	+	+	-
N49	++	+	-	+	+	+	-
N50	+	-	-	-	+	+	+
N51	+	+	+	+	+	+	-
N55	++	+	-	+	+	+	-
N56	++	-	-	+	+	-	-
N57	++	-	-	+	+	+	-
N58	++	+	-	+	+	+	-

ตารางที่ 3.9 ก) (ต่อ) กลุ่มโรคกระเพาะอักเสบ (Gastritis)

Spec. No	Histology test	PCR test					
		vacA subtypes					
		cagA	iceA1	vacAs1 (201bp)	vacAs1 (259bp)	vacAs1a	vacAm2
N61	++	+	-	+	+	+	-
N67	++	+	+	+	+	+	+
N69A	+	+	+	+	+	+	-
N69B	++	+	+	+	+	+	-
N71	++	+	+	+	+	+	-
N72	+++	+	+	+	+	+	+
N75	++	+	-	-	+	+	+
N77	++	+	-	+	+	+	-
N79	++	+	+	-	+	+	-
N80	++	+	+	+	+	+	-
N81	+++	+	-	-	+	+	-
N83	+	+	-	+	+	+	+
N86	++	+	+	+	+	+	+
N87	+	+	-	+	+	+	+
N88	+++	+	-	-	+	+	-
N90	+++	+	+	+	+	+	-

ลิขสิทธิ์มหาวิทยาลัยเชียงใหม่  
 Copyright© by Chiang Mai University  
 All rights reserved

ตารางที่ 3.9 ข) กลุ่มโรคแผลในกระเพาะอาหาร (Peptic ulcer)

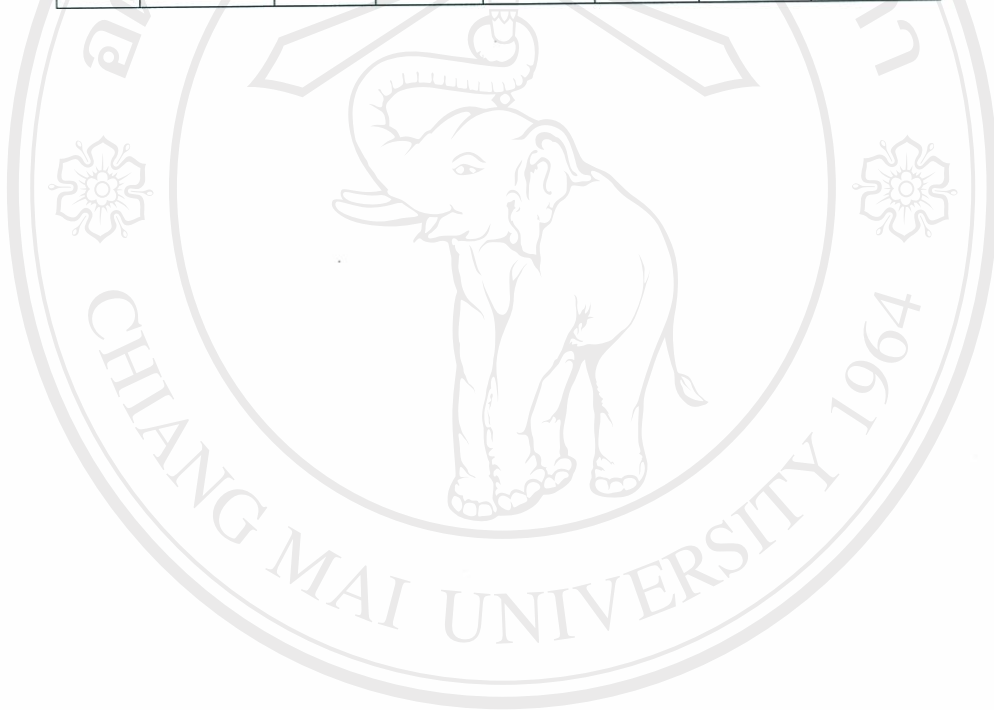
Spec. No	Histology test	PCR test					
		vacA subtypes					
		cagA	iceA1	vacAs1 (201bp)	vacAs1 (259bp)	vacAs1a	vacAm2
N15	+++	-	-	+	-	-	-
N22	+++	+	-	+	+	+	+
N45	++	+	+	+	+	+	-
N48	++	+	+	+	+	+	+
N63	+++	+	-	+	+	+	+
N66	+++	+	+	+	+	+	+
N82	+++	+	+	+	+	+	+
N92	+++	+	-	+	+	+	-

ตารางที่ 3.9 ค) กลุ่มโรคแผลในลำไส้ส่วนต้น (Duodenal ulcer)

Spec. No	Histology test	PCR test					
		vacA subtypes					
		cagA	iceA1	vacAs1 (201bp)	vacAs1 (259bp)	vacAs1a	vacAm2
N11	+++	+	-	+	+	+	-
N13	+++	+	+	+	+	+	+
N21	++	+	+	+	+	+	+
N29	+++	+	+	+	+	+	-
N40	+++	+	-	+	+	+	-
N74	+++	+	-	+	+	+	-

ตารางที่ 3.9 ง) กลุ่มโรคมะเร็งกระเพาะอาหาร (Gastric cancer)

Spec. No	Histology test	PCR test					
		vacA subtypes					
		cagA	iceA1	vacAs1 (201bp)	vacAs1 (259bp)	vacAs1a	vacAm2
N7	++	+	-	+	+	-	-
N10	+++	+	+	+	+	+	-
N28	++	+	+	-	+	+	+
N33	++	+	-	+	+	+	-



ลิขสิทธิ์มหาวิทยาลัยเชียงใหม่  
Copyright© by Chiang Mai University  
All rights reserved

ตารางที่ 3.10 ผลการตรวจยืนยัน cagA, vacA subtypes s และ m และ iceA ของเชื้อ *H. pylori* จาก DNA ที่สกัดจากเนื้อยื่นกระเพาะผู้ป่วยที่ได้จากการตรวจเชื้อด้วยไข้ CLO test โดยใช้ primer ที่ออกแบบโดยคณะวิจัยอื่น

ตารางที่ 3.10 ก) กลุ่มโรคกระเพาะอักเสบ (Gastritis)

Spec. No	PCR test											
	860bp	cagA	iceA1	iceA2	vacA subtypes							
					vacAs1 (201bp)	vacAs1 (259bp)	vacA s1a	vacA s1b	vacA s1c	vacA s2	vacAm m1	vacAm m2
K9	+	+	+	-	+	+	-	-	+	-	-	+
K13	+	+	-	+	+	-	+	-	-	-	+	-
K18	+	+	+	+	+	-	+	-	-	-	+	-
K31	+	-	-	-	+	-	+	-	-	-	+	-
K37	+	+	+	-	+	+	+	-	+	-	+	-
K51	+	+	-	+	+	+	+	-	+	-	-	-
K52	+	+	+	-	+	+	+	-	+	-	-	+
K74	+	+	-	+	+	+	+	-	-	-	-	+
K97	+	+	-	+	+	+	+	-	-	-	+	-
K131	+	+	+	-	+	+	+	-	+	-	+	-
K132	+	+	+	-	+	+	+	-	-	-	-	+
K133	+	+	+	-	+	+	+	-	+	-	-	+
K140	+	-	-	+	+	+	+	-	-	-	-	+
K176	+	-	+	-	+	+	+	-	-	-	+	-
K177	+	+	+	-	+	+	+	-	-	-	+	-
K194	+	+	+	-	+	+	+	-	-	-	+	-
K199	+	+	-	+	+	+	-	-	-	-	+	+

ตารางที่ 3.10 ก) (ต่อ) กลุ่มโรคกระเพาะอักเสบ (Gastritis)

Spec. No	PCR test												
	860bp	cagA	iceA1	iceA2	vacA subtypes								
					vacAs1 (201bp)	vacAs1 (259bp)	vacA s1a	vacA s1b	vacA s1c	vacA s2	vacAm m1	vacAm m2	vacA m2
K202	+	+	+	+	+	+	+	-	+	-	-	+	+
K246	+	+	+	-	+	+	+	-	-	-	+	-	-
K285	+	+	+	-	+	+	+	-	+	-	+	-	-
K288	+	+	+	-	+	+	+	-	+	-	-	+	+
K291	+	+	+	+	+	-	+	-	+	-	-	+	+
K318	+	+	+	-	+	+	+	-	-	-	+	-	-
K333	+	+	+	-	+	+	+	-	-	-	-	+	+
K344	+	+	-	+	+	+	+	-	+	-	-	+	+
K345	+	-	+	-	+	+	+	-	-	-	+	-	-

ลิขสิทธิ์มหาวิทยาลัยเชียงใหม่  
Copyright© by Chiang Mai University  
All rights reserved

ตารางที่ 3.10 ข) กลุ่มโรคแพลในกระเพาะอาหาร (Peptic ulcer)

Spec. No	PCR test												
	860bp	cagA	iceA1	iceA2	vacA subtypes								
					vacAs1 (201bp)	vacAs1 (259bp)	vacA s1a	vacA s1b	vacA s1c	vacA s2	vacAm m1	vacAm m2	vacA m2
K14	+	+	-	+	+	-	+	-	+	-	+	-	-
K24	+	+	-	-	+	+	+	-	+	-	+	-	+
K26	+	+	+	-	+	+	-	-	+	-	-	+	+
K39	+	+	+	-	+	+	+	-	+	-	+	-	-
K40	+	+	+	-	+	+	+	-	-	-	+	-	-
K48	+	+	-	+	+	+	+	-	+	-	-	+	+
K145	+	+	+	-	+	+	+	-	-	-	+	-	-
K166	+	+	-	+	+	+	+	-	+	-	-	+	+
K185	+	+	+	-	+	+	-	-	+	-	+	-	-
K187	+	+	+	-	+	+	+	-	-	-	+	-	-
K192	+	-	+	-	+	+	+	-	+	-	+	-	-
K200	+	+	-	+	+	+	+	-	-	-	+	-	-
K210	+	+	+	-	+	+	+	-	+	-	+	-	-
K215	+	+	+	-	+	+	+	-	+	-	+	-	-
K216	+	+	+	-	+	+	-	-	-	-	-	+	+
K243	+	+	+	-	+	+	+	-	+	-	+	-	-
K257	+	+	+	-	+	+	+	-	-	-	-	+	+
K262	+	+	+	-	+	+	+	-	+	-	-	+	+
K294	+	+	-	+	+	+	+	-	+	-	+	+	+
K322	+	-	+	-	+	+	+	-	+	-	+	-	-

ตารางที่ 3.10 ค) กลุ่มโรคแผลในลำไส้ส่วนต้น (Duodenal ulcer)

Spec. No	PCR test												
	860bp	cagA	iceA1	iceA2	vacA subtypes								
					vacAs1 (201bp)	vacAs1 (259bp)	vacA s1a	vacA s1b	vacA s1c	vacA s2	vacAm m1	vacAm m2	vacA m2
K1	+	+	-	+	+	+	+	-	+	-	+	-	-
K2	+	+	+	+	+	+	+	-	+	-	+	-	-
K3	+	+	-	+	+	+	+	-	+	-	-	+	+
K6	+	+	+	-	+	+	+	-	+	-	+	-	-
K22	+	+	+	-	+	+	-	-	+	-	+	-	-
K23	+	+	+	-	+	-	-	-	+	-	-	+	+
K27	+	+	+	-	+	+	-	-	+	-	-	+	+
K35	+	+	+	-	+	+	+	-	+	-	+	-	-
K40	+	+	+	-	+	+	+	-	-	-	+	-	-
K47	+	+	+	-	+	+	+	-	+	-	+	-	-
K49	+	+	+	-	-	-	+	-	+	-	+	-	-
K50	+	+	+	-	+	+	+	-	-	-	+	-	-
K66	+	+	+	-	+	+	-	-	+	-	+	+	+
K69	+	+	-	+	+	+	+	-	+	-	+	-	-
K76	+	+	+	+	+	+	+	-	-	-	-	+	+
K82	+	+	+	+	+	+	+	-	+	-	+	+	+
K83	+	+	-	+	+	+	+	-	+	-	+	-	-
K89	+	+	-	-	+	+	-	-	+	-	+	-	-
K93	+	+	+	-	+	+	+	-	+	-	+	+	+
K108	+	+	-	+	+	+	+	-	+	-	-	+	-
K110	+	+	-	+	+	+	+	-	+	-	+	-	-

ตารางที่ 3.10 ค) (ต่อ) กลุ่มโรคแผลในลำไส้ส่วนต้น (Duodenal ulcer)

Spec. No	PCR test												
	860bp	cagA	iceA1	iceA2	vacA subtypes								
					vacAs1 (201bp)	vacAs1 (259bp)	vacA s1a	vacA s1b	vacA s1c	vacA s2	vacAm m1		
K122	+	+	+	-	+	+	+	-	+	-	+	-	-
K125	+	+	+	-	+	+	-	-	+	-	+	-	-
K150	+	-	+	-	+	+	+	-	+	-	-	+	+
K215	+	+	+	-	+	+	+	-	+	-	+	-	-
K229	+	+	-	+	+	+	+	-	+	-	-	+	+
K243	+	+	+	-	+	+	+	-	+	-	+	-	-
K258	+	+	+	-	+	+	+	-	-	-	-	+	+
K259	+	+	+	-	+	+	+	-	+	-	-	+	+
K262	+	+	+	-	+	+	+	-	+	-	-	+	+
K267	+	+	-	-	+	+	+	-	+	-	+	-	-
K268	+	+	+	-	+	+	+	-	+	-	+	-	-
K282	+	+	+	-	+	-	+	-	-	-	+	-	-
K294	+	+	-	+	+	+	+	-	+	-	+	+	+
K297	+	+	+	-	+	+	+	-	+	-	-	+	+
K299	+	+	+	-	+	-	+	-	+	-	+	-	-
K307	+	+	+	-	+	+	+	-	+	-	+	-	-
K320	+	+	+	-	+	+	+	-	+	-	+	-	-
K335	+	+	+	-	+	+	+	-	+	-	+	-	-

Copyright<sup>©</sup> by Chiang Mai University  
All rights reserved

ตารางที่ 3.11 ผลการตรวจยืนยัน cagA, vacA subtypes s และ m และ iceA ของเชื้อ *H. pylori* จาก DNA ที่สกัดจากเนื้อเยื่อกระเพาะผู้ป่วยที่ได้จากการตรวจเชื้อโดยใช้ CLO test โดยใช้ primer ที่ออกแบบจากลำดับเบสสายพันธุ์ที่พบในคนไทย

ตารางที่ 3.11 ก) กลุ่มโรคกระเพาะอักเสบ (Gastritis)

Spec. No	PCR test					
	cagA	iceA1	vacA subtypes			
			vacAs1 (201bp)	vacAs1 (259bp)	vacAs1a	vacAm2
K9	+	+	+	+	+	+
K13	+	-	+	+	+	-
K18	+	-	+	+	+	-
K31	+	-	+	+	-	-
K37	+	+	+	+	+	-
K51	+	-	-	+	+	-
K52	+	+	+	+	+	+
K74	+	-	+	+	+	+
K97	+	-	+	+	+	-
K131	+	+	+	+	+	-
K132	+	+	+	+	+	+
K133	+	+	+	+	+	+
K140	-	-	+	+	+	+
K176	+	-	+	+	+	-
K177	+	+	+	+	+	-
K194	+	+	+	+	+	-
K199	+	-	-	+	+	+

ตารางที่ 3.11 ก) (ต่อ) กลุ่มโรคกระเพาะอักเสบ (Gastritis)

Spec. No	PCR test					
	cagA	iceA1	vacA subtypes			
			vacAs1 (201bp)	vacAs1 (259bp)	vacAs1a	vacAm2
K202	+	+	+	+	+	+
K246	+	+	+	+	+	-
K285	+	+	+	+	+	-
K288	+	+	+	+	+	+
K291	+	-	+	+	+	+
K318	+	-	+	+	+	-
K333	+	+	+	+	+	+
K344	+	-	+	+	+	+
K345	+	+	+	+	+	-

ลิขสิทธิ์มหาวิทยาลัยเชียงใหม่  
 Copyright© by Chiang Mai University  
 All rights reserved

ตารางที่ 3.11 ข) กลุ่มโรคแพลในกระเพาะอาหาร (Peptic ulcer)

Spec. No	PCR test					
	cagA	iceA1	vacA subtypes			
			vacAs1 (201bp)	vacAs1 (259bp)	vacAs1a	vacAm2
K14	+	-	+	+	+	-
K24	+	-	+	+	+	+
K26	+	+	-	+	+	+
K39	+	+	-	+	+	-
K40	+	+	+	+	+	-
K48	+	-	+	+	+	+
K145	+	+	+	+	+	-
K166	+	-	+	+	+	+
K185	+	+	+	+	+	-
K187	+	+	+	+	+	-
K192	+	+	+	+	+	-
K200	+	-	+	+	+	-
K210	+	+	+	+	+	-
K215	+	+	+	+	+	-
K216	+	+	+	+	-	+
K243	+	+	+	+	+	-
K257	+	+	+	+	+	+
K262	+	+	-	+	+	+
K294	+	-	+	+	+	+
K322	-	+	-	+	+	+

ตารางที่ 3.11 ค) กลุ่มโรคแพลในลำไส้ส่วนต้น (Duodenal ulcer)

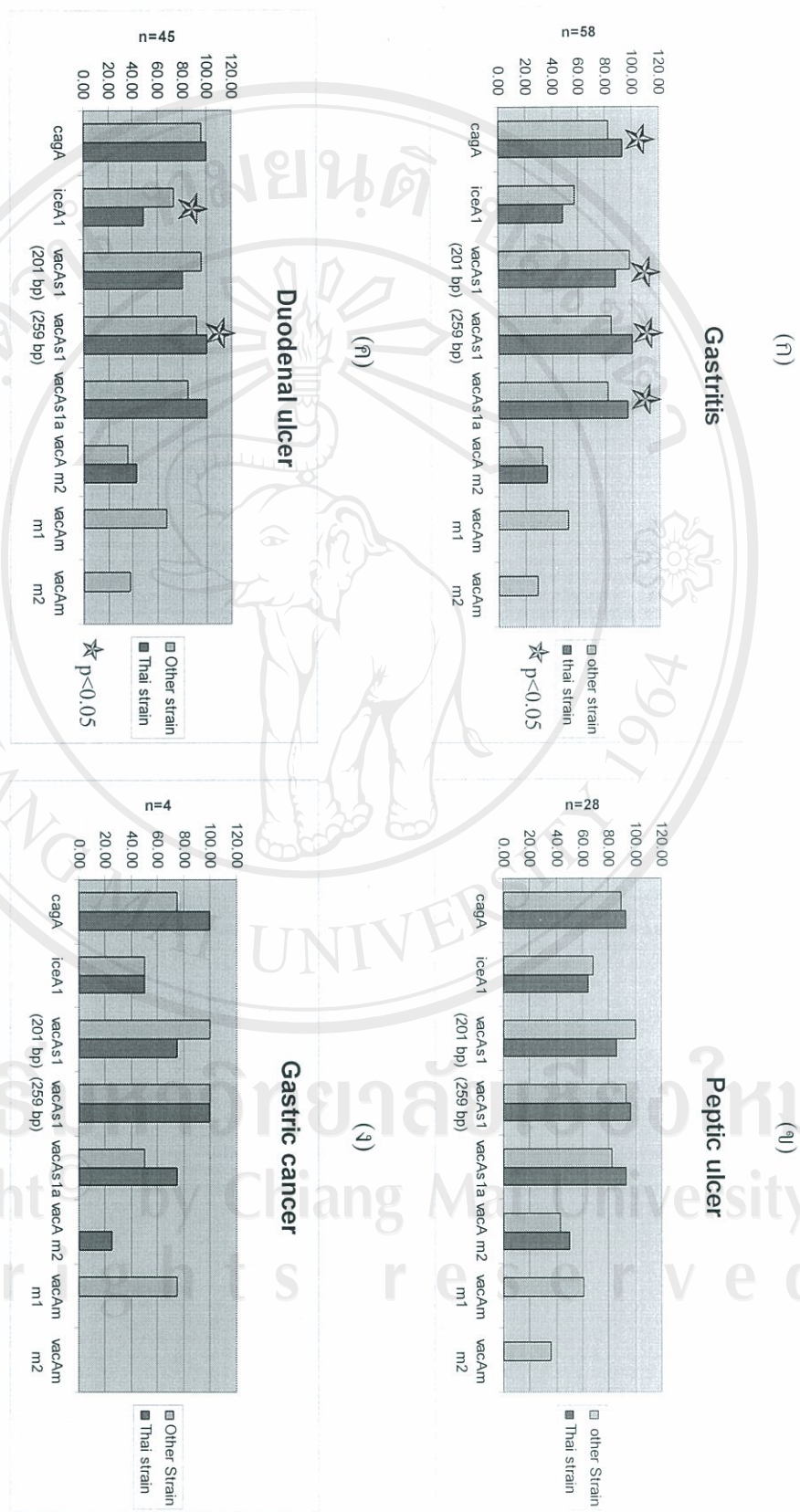
Spec. No	PCR test					
	cagA	iceA1	vacA subtypes			
			vacAs1 (201bp)	vacAs1 (259bp)	vacAs1a	vacAm2
K1	+	-	+	+	+	+
K2	+	+	+	+	+	-
K3	+	-	+	+	+	+
K6	+	+	+	+	+	-
K22	+	+	-	+	+	-
K23	+	-	-	+	+	+
K27	+	-	-	+	+	+
K35	+	+	+	+	+	-
K40	+	+	+	+	+	-
K47	+	+	+	+	+	-
K49	+	-	+	+	+	-
K50	+	+	+	+	+	-
K66	+	+	-	+	+	-
K69	+	-	+	+	+	-
K76	+	-	+	+	+	+
K82	+	-	-	+	+	+
K83	+	-	+	+	+	-
K89	+	-	-	+	+	-
K93	+	-	+	+	+	+
K108	+	-	+	+	+	-
K110	+	-	+	+	+	-

ตารางที่ 3.11 ค) (ต่อ) กลุ่มโรคแผลในลำไส้ส่วนต้น (Duodenal ulcer)

Spec. No	PCR test					
	cagA	iceA1	vacA subtypes			
			vacAs1 (201bp)	vacAs1 (259bp)	vacAs1a	vacAm2
K122	+	+	+	+	+	-
K125	+	-	-	+	+	-
K150	+	-	+	+	+	+
K215	+	+	+	+	+	-
K229	+	-	-	+	+	+
K243	+	+	+	+	+	-
K258	+	+	+	+	+	+
K259	+	+	+	+	+	+
K262	+	+	-	+	+	+
K267	+	-	+	+	+	-
K268	+	+	+	+	+	-
K282	+	+	+	+	+	-
K294	+	-	+	+	+	+
K297	+	-	+	+	+	+
K299	+	+	+	+	+	+
K307	+	+	+	+	+	+
K320	+	-	+	+	+	+
K335	+	+	+	+	+	-

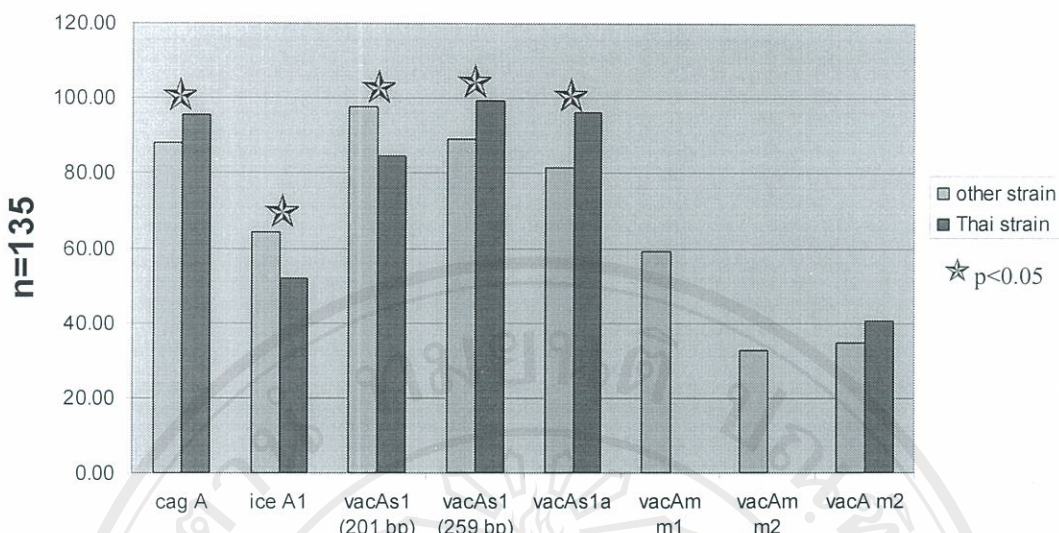
ตารางที่ 3.12 ตัวอย่างที่ตรวจสอบยืน cagA, vacA subtypes ชนิด s และ m และยืน iceA ของเชื้อ *H. pylori* โดยใช้ primer ที่ออกแบบโดยคณะวิจัยอื่นและ primer ที่จำเพาะต่อเชื้อ สายพันธุ์คนไทย

	ยืน เป้าหมาย	Gastritis		Peptic ulcer		Duodenal ulcer		Gastric cancer		รวม	
		n(58)	ร้อยละ	n(28)	ร้อยละ	n(45)	ร้อยละ	n(4)	ร้อยละ	n(135)	ร้อยละ
Primer จาก นักวิจัย อื่น	cag A	48	82.76	25	89.29	43	95.56	3	75.00	119	88.15
	ice A1	33	56.90	19	67.86	33	73.33	2	50.00	87	64.44
	iceA2	20	34.48	6	21.43	12	26.67	1	26.67	39	28.89
	vacAs1 (201bp)	57	98.28	28	100.00	43	95.56	4	100.00	132	97.78
	vacAs1 (259 bp)	49	84.48	26	92.86	41	91.11	4	100.00	120	88.89
	vacAs1a	47	81.03	23	82.14	38	84.44	2	50.00	110	81.48
	vacAs1b	0	0	0	0	0	0	0	0	0	0
	vacAs1c	30	51.72	19	67.86	40	88.89	1	25.00	90	66.67
	vacA s2	0	0	0	0	0	0	0	0	0	0
	vacAm m1	30	51.72	17	60.71	30	66.67	3	75.00	80	59.30
	vacAm m2	17	29.31	10	35.71	17	37.78	0	0.00	44	32.59
	vacAm2	19	32.76	12	42.86	16	35.56	0	0.00	47	34.81
Primer ที่ จำเพาะ ต่อคน ไทย	cag A	54	93.10	26	92.86	45	100.00	4	100.00	129	95.56
	iceA1	28	48.28	18	64.29	22	48.89	2	50.00	70	51.85
	vacAs1 (201bp)	51	87.93	24	85.71	36	80.00	3	75.00	114	84.44
	vacAs1 (259 bp)	58	100.00	27	96.43	45	100.00	4	100.00	134	99.26
	vacAs1a	56	96.55	26	92.86	45	100.00	3	75.00	130	96.30
	vacAm2	21	36.21	14	50.00	19	42.22	1	25.00	55	40.7



รูปที่ 3.7

การรับประทาน PCR ที่ตัวแทนเมอร์เซน cagA, iceA และ vacA subtypes ชนิดต่างๆของเชื้อ *H. pylori* โดยใช้ primer ที่ออกแบบจากคลัสเตอร์ (cluster strain) และ primer ที่จำเพาะต่อสายพันธุ์ไทย (Thai strain); (ก) กดุ่มโรค gastritis; (ก) กดุ่มโรค peptic ulcer; (ก) กดุ่มโรค duodenal ulcer และ (ก) กดุ่มโรค gastric cancer



รูปที่ 3.8 เปรียบเทียบวิธี PCR ที่ใช้ primer จำเพาะต่อสายพันธุ์คนไทยและ primer จากคณวิจัยอื่น ในการตรวจหาเชื้อ cagA, vacA subtypes ชนิดต่างๆ และ iceA

### 3.7 ความสัมพันธ์ของเชื้อ cagA, vacA subtypes ชนิด s และ m และ iceA ที่มีต่ออาการทางคลินิกของโรคกระเพาะ

ตารางที่ 3.13 แสดงถึงจำนวนตัวอย่างที่ให้ผลบวกของเชื้อ cagA, vacA subtypes และ iceA ของเชื้อ *H. pylori* หากที่สุดจาก primer ที่ใช้ต่างกันในกลุ่มโรคต่างๆ และรูปที่ 3.9 เปรียบเทียบความชุกของเชื้อ cagA, iceA และ vacA subtypes ชนิด s และ m ของเชื้อ *H. pylori* ในกลุ่ม โรคกระเพาะอาหารอักเสบ โรคแพลงในกระเพาะและโรคแพลงในลำไส้ส่วนต้นและโรคมะเร็งกระเพาะอาหาร ตัวอย่างที่ตรวจพบเชื้อ cagA ในกลุ่มโรคต่างๆอยู่ในช่วง 92.86-100% โดยความชุกของเชื้อ cagA เมื่อเปรียบเทียบในกลุ่มโรคต่างๆจะไม่มีความแตกต่างกันอย่างมีนัยสำคัญทางสถิติ ( $p>0.05$ ) ส่วนเชื้อ vacA s region ที่พบมากคือ s1 ซึ่งคณวิจัยนี้ได้ใช้ primer ที่ต่างกัน 2 คู่ ที่ให้ผลิตภัณฑ์ PCR ที่มีขนาด 201 bp และ 259 bp พบในช่วง 95.56-100% และเมื่อศึกษาถึง subtypes ของ vacAs1 พบร่วมกับ subtype s1a อยู่ในช่วง 75-100% หากไม่นำเอกสารกลุ่ม gastric cancer มารวมเนื่องจากจำนวนตัวอย่างน้อย ( $n=4$ ) จะพบความชุกของ s1a อยู่ในช่วง 92.86-100% เชื้อที่พบรองลงมาคือ s1c ซึ่งพบ 51.72% ในกลุ่ม gastritis, 67.86% ในกลุ่ม peptic ulcer และ 88.89% ในกลุ่ม duodenal ulcer ส่วนเชื้อ vacAs1b และ vacAs2 ตรวจไม่พบเลยในทุกกลุ่มโรค เมื่อนำมาหาความสัมพันธ์ระหว่างเชื้อ vacA และกลุ่มโรคต่างๆแล้วจะพบว่า vacAs1 และ vacAs1a ไม่พบความสัมพันธ์อย่างมี

นัยสำคัญทางสถิติ ( $p>0.05$ ) แต่ใน s1c จะพบว่ากลุ่มโรค duodenal ulcer มีอัตรา vacAs1c มากกว่ากลุ่ม gastritis ( $p<0.001$ ) และกลุ่ม peptic ulcer ( $p<0.05$ ) อย่างมีนัยสำคัญทางสถิติ ส่วนอัตรา vacAs1b และ vacAs2 ตรวจไม่พบในกลุ่มศึกษา ในส่วนของยีน vacA m region พบยีน vacAm1 มากกว่า vacAm2 ในทุกกลุ่มโรค แต่ไม่มีนัยสำคัญทางสถิติ ความชุกของยีน vacAm1 จะสูงในกลุ่มที่เป็นแพลงท์เพลในกระเพาะและลำไส้ส่วนต้นมากกว่าในกลุ่ม gastritis ในส่วนของยีน iceA พบยีน iceA1 มากกว่า yie iceA2 และจะพบมากอ่อนแรงมีนัยสำคัญทางสถิติในกลุ่ม peptic ulcer ( $p<0.015$ ) และกลุ่ม duodenal ulcer ( $p<0.001$ ) และพบยีน iceA1 ในกลุ่มที่เป็นแพลงมากกว่ากลุ่มที่ไม่เป็นแพลง แต่อย่างไรก็ตาม ไม่มีความแตกต่างอย่างมีนัยสำคัญทางสถิติ



ลิขสิทธิ์มหาวิทยาลัยเชียงใหม่  
Copyright© by Chiang Mai University  
All rights reserved

ตารางที่ 3.13 จำนวนตัวอย่างที่ให้ผลบวกของยีน cagA, vacA subtypes และ iceA ของเชื้อ *H. pylori* มาตรฐานจาก primer ที่ใช้ต่างกันในกลุ่มโรคต่างๆ

ยีนเป้าหมาย	Gastritis		Peptic ulcer		Duodenal ulcer		Gastric cancer		Total	
	n(58)	ร้อยละ	n(28)	ร้อยละ	n(45)	ร้อยละ	n(4)	ร้อยละ	n(135)	ร้อยละ
cagA*	54	93.10	26	92.86	45	100.00	4	100.00	129	95.56
iceA1** <sup>a</sup>	33	56.90	19	67.86	33	73.33	2	50.00	87	64.44
iceA2**	20	34.48	6	21.43	12	26.67	1	25.00	39	28.89
vacA										
s1 (201 bp)**	57	98.28	28	100.00	43	95.56	4	100.00	132	97.78
s1 (259 bp)*	58	100	27	96.43	45	100.00	4	100.00	134	99.26
s1a*	56	96.55	26	92.86	45	100.00	3	75.00	130	96.30
s1b**	0	0	0	0	0	0	0	0	0	0
s1c** <sup>b</sup>	30	51.72	19	67.86	40	88.89	1	25.00	90	66.67
s2**	0	0	0	0	0	0	0	0	0	0
m1**	30	51.72	17	60.71	30	66.67	3	75.00	80	59.30
m2*	21	36.21	14	50.00	19	42.22	1	25.00	55	40.70

\* primer ที่ออกแบบจำเพาะต่อเชื้อ *H. pylori* สายพันธุ์คุณไทย

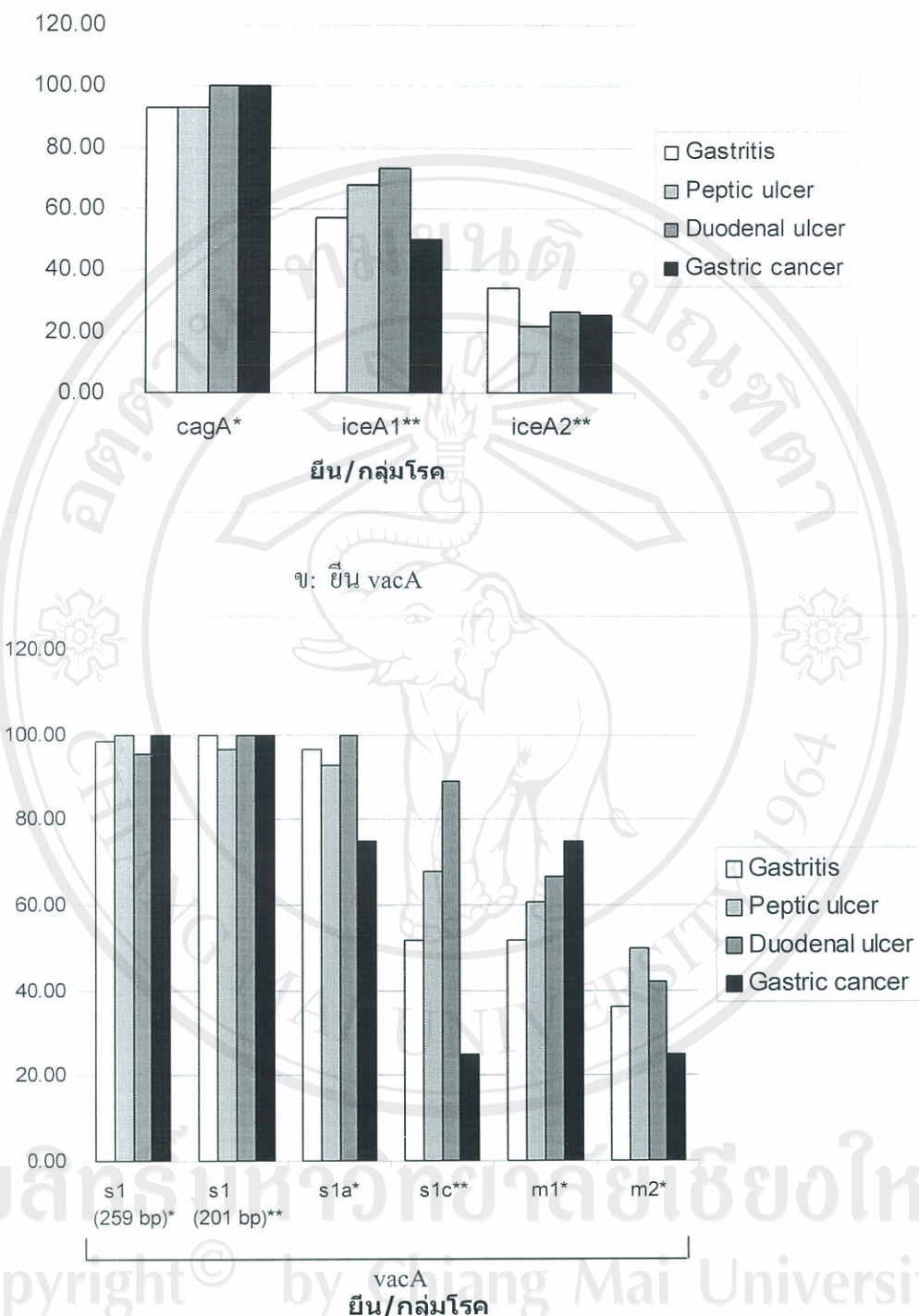
\*\* primer ที่ออกแบบจากคุณวิจัยอื่น

<sup>a</sup> เปรียบเทียบความชุกของยีน iceA1 กับ iceA2 ( $p<0.015$ )

<sup>b</sup> เปรียบเทียบระหว่างกลุ่ม gastritis และกลุ่ม duodenal ulcer ( $p<0.0001$ )

เปรียบเทียบกลุ่ม duodenal ulcer และ peptic ulcer ( $p<0.05$ )

ก: ยีน cagA และ iceA



รูปที่ 3.9

เปรียบเทียบความชุกของยีน *cagA*, *iceA* และ *vacA* subtypes ชนิด s และ m ของเชื้อ *H. pylori* ในกลุ่มโรคกระเพาะอาหารอักเสบ โรคแพลงในกระเพาะและโรคแพลงค์ไสส์ส่วนต้นและโรคมะเร็งกระเพาะอาหาร ก: ยีน *cagA* และ *iceA*; ข: ยีน *vacA* (\* primer ที่ออกแบบจำเพาะต่อเชื้อสายพันธุ์คนไทย \*\* primer ที่ออกแบบจากคณะวิจัยอื่น)

ยืน vacA subtypes ที่มีทั้งชนิด s และ m พบริบูรณ์ชนิด vacAs1/m1 และ vacAs1a/m1 มากที่สุด โดยพบร้อยละ 59.26 เท่ากัน รองลงมาพบ vacAs1c/m1 51.85% ทั้งยืน vacAs1/m1, vacAs1a/m1 และ vacAs1c/m1 ไม่มีความสัมพันธ์กับความรุนแรงของโรคกระเพาะอาหารอย่างไรก็ตามตัวอย่างที่มีอินพสมของ vacAs1a และ vacAs1c ซึ่งพบร้อยละ 66.67 ในตัวอย่างที่ตรวจและพบว่าตัวอย่างที่ได้จากกลุ่มโรค duodenal ulcer (88.89%) จะมีมากกว่ากลุ่ม peptic gastritis (51.72%) อย่างมีนัยสำคัญทางสถิติ ( $p<0.0001$ ) และมากกว่ากลุ่ม peptic ulcer (67.86%) อย่างมีนัยสำคัญทางสถิติเช่นกัน ( $p<0.05$ ) ยืนร่วม s1/m1m2 s1a/m1m2 และ s1a/s1c/m1 จะพบในกลุ่ม duodenal ulcer มากกว่ากลุ่ม gastritis อย่างมีนัยสำคัญทางสถิติ เช่นกัน ( $p<0.05$ )(ตารางที่ 3.14) ส่วนความชุกของเชื้อ *H. pylori* ในตัวอย่างเนื้อเยื่อกระเพาะที่พบริบูรณ์พันธุ์ vacA และ iceA มากกว่า 1 สายพันธุ์ แสดงไว้ในตารางที่ 3.15 จะพบว่าเชื้อที่พบริบูรณ์พันธุ์ vacAs1a และ s1c อยู่ในตัวอย่างเนื้อเยื่อมากที่สุดคือ 66.67% ส่วนสายพันธุ์ที่มีอิน m1 m2 จะพบเพียง 9.63% ตัวอย่างที่พบริบูรณ์ iceA1+iceA2 จะพบเพียง 3.70%

ตารางที่ 3.14 ยืน vacA ในตัวอย่างเนื้อเยื่อโดยแยกเป็นกลุ่มโรคกระเพาะอาหารต่างๆ

ยืน vacA	Gastritis		Peptic ulcer		Duodenal ulcer		Gastric cancer		Total	
	n(58)	ร้อยละ	n(28)	ร้อยละ	n(45)	ร้อยละ	n(4)	ร้อยละ	n(135)	ร้อยละ
s1/m1	30	51.72	17	60.71	30	66.67	3	75.00	80	59.26
s1/m2	21	36.21	14	50.00	19	42.22	1	25.00	55	40.74
s1/m1m2*	1	1.72	5	17.86	6	13.33	1	25.00	13	9.63
s1a/m1	30	51.72	17	60.71	30	66.67	3	75.00	80	59.26
s1a/m2	21	36.21	13	46.43	19	42.22	1	25.00	54	40.00
s1a/m1m2*	1	1.72	5	17.86	6	13.33	1	25.00	13	9.63
s1c/m1	30	51.72	12	42.86	27	60.00	1	25.00	70	51.85
s1c/m2	14	24.14	10	35.71	17	37.78	1	25.00	42	31.11
s1c/m1m2	1	1.72	4	14.29	6	13.33	1	25.00	12	8.89
s1a/s1c***	30	51.72	19	67.86	40	88.89	0	0	89	65.93
s1a/s1c/m1*	13	22.41	12	42.86	27	60.00	0	0	52	38.52
s1a/s1c/m2	14	24.14	10	35.71	17	37.78	0	0	41	30.37
s1a/s1c/m1m2	1	1.72	3	10.71	6	13.33	0	0	10	7.07

\* เปรียบเทียบกลุ่ม gastritis และกลุ่ม duodenal ulcer ( $p<0.0001$ )

\*\* เปรียบเทียบกลุ่ม peptic ulcer และ duodenal ulcer ( $p<0.05$ )

ตารางที่ 3.15 ความชุกของเชื้อ *H. pylori* ในตัวอย่างเนื้อเยื่อกระเพาะที่พบเชื้อสายพันธุ์ vacA และ iceA มากกว่าหนึ่งสายพันธุ์

Genotype	Gastritis		Peptic ulcer		Duodenal ulcer		Gastric cancer		Total	
	n(58)	ร้อยละ	n(28)	ร้อยละ	n(45)	ร้อยละ	n(4)	ร้อยละ	n(135)	ร้อยละ
vacA										
s1a + s1c <sup>*</sup> **	30	51.72	19	67.86	40	88.89	1	25.00	90	66.67
m1 + m2	1	1.72	5	17.86	6	13.33	1	25.00	13	9.63
iceA										
iceA1 + iceA2	2	3.45	0	0	3	6.67	0	0	5	3.70

\* เปรียบเทียบระหว่างกลุ่ม gastritis และกลุ่ม duodenal ulcer ( $p<0.0001$ )

\*\* เปรียบเทียบระหว่างกลุ่ม peptic ulcer และ duodenal ulcer ( $p<0.035$ )

ตารางที่ 3.16 แสดงตัวอย่างเนื้อเยื่อกระเพาะผู้ป่วยที่ติดเชื้อสายพันธุ์ผสมที่มีใน cagA, vacA และ iceA อยู่ด้วยในกลุ่ม โรคกระเพาะชนิดต่างๆ พบริณผสม cagA/vacAs1a/m1/iceA1 มากที่สุดคือ 38.52% รองลงมาคือ cagA/vacAs1a/m2/iceA1 (26.67%) อย่างไรก็ตามเมื่อเปรียบเทียบยืนยันผสมกับกลุ่ม โรคกระเพาะแล้วพบว่ากลุ่มยืนยันที่มีใน vacA ชนิด m1 และ iceA1 ซึ่งได้แก่กลุ่มยืนยัน cagA/vacAs1a/m1/iceA1, cagA/vacAs1c/m1/iceA1 และ cagA/vacAs1a/s1c/m1/iceA1 จะพบในกลุ่มตัวอย่างจากผู้ป่วยที่เป็นแผลมากกว่ากลุ่มที่ไม่เป็นแผล และเมื่อเปรียบเทียบระหว่างกลุ่ม duodenal ulcer และกลุ่ม gastritis พบริณกลุ่มดังกล่าวมากกว่าอย่างมีนัยสำคัญทางสถิติ ( $p<0.05$ ).

ตารางที่ 3.16 ตัวอย่างเนื้อเยื่อที่พมยิน cagA, vacA และ iceA ในตัวอย่างเดียวกันและความสัมพันธ์ของยีนเหล่านี้กับความรุนแรงของโรคกระเพาะอาหาร

ยีนรวม	Gastritis		Peptic ulcer		Duodenal ulcer		Gastric cancer		Total	
	n(58)	ร้อยละ	n(28)	ร้อยละ	n(45)	ร้อยละ	n(4)	ร้อยละ	n(135)	ร้อยละ
cagA/vacAs1a/m1/iceA1*	17	29.13	11	39.29	22	48.89	2	50	52	38.52
cagA/vacAs1a/m1/iceA2	8	13.79	4	14.29	7	15.56	0	0	19	14.07
cagA/vacAs1a/m2/iceA1	13	22.41	7	25.00	15	33.33	1	25.00	36	26.67
cagA/vacAs1a/m2/iceA2	7	12.07	4	14.29	6	13.33	0	0	17	12.59
cagA/vacAs1c/m1/iceA1*	7	12.07	7	25.00	19	42.22	1	25.00	34	25.19
cagA/vacAs1c/m1/iceA2	4	6.90	3	10.71	7	15.56	0	0	14	10.37
cagA/vacAs1c/m2/iceA1	8	13.79	4	14.29	13	28.89	1	25.00	26	19.26
cagA/vacAs1c/m2/iceA2	6	10.34	4	14.29	5	11.11	0	0	15	11.11
cagA/vacAs1a/s1c/m1/iceA1*	7	12.07	7	25.00	19	42.22	0	0	33	24.44
cagA/vacAs1a/s1c/m1/iceA2	4	6.90	3	10.71	7	15.56	0	0	14	10.37
cagA/vacAs1a/s1c/m2/iceA1	8	13.79	4	14.29	13	28.89	0	0	25	18.52
cagA/vacAs1a/s1c/m2/iceA2	6	10.34	4	14.29	5	11.11	0	0	15	11.11

\* เปรียบเทียบระหว่างกลุ่ม gastritis และกลุ่ม duodenal ulcer ( $p<0.05$ )

## บทที่ 4

### วิจารณ์และสรุปผล

นับตั้งแต่นายแพทย์ชาวอสเตรเลียสองท่านคือ Dr. Barry Marshall และ Dr. Robin Warren ได้รายงานถึงความสำเร็จในการเพาะเลี้ยงเชื้อ *H. pylori* และสามารถแยกเชื้อได้จากเนื้อเยื่อกระเพาะอาหาร และนอกจากนี้แล้วยังสามารถพิสูจน์ว่าเชื้อตัวนี้มีความสัมพันธ์กับการเกิดโรคกระเพาะอาหารอักเสบและแผลในกระเพาะอาหาร ในปี ค.ศ. 1984 (27) ตั้งแต่นั้นเป็นต้นมาทักษิณย์ต่างๆ แทนทุกภูมิภาคของโลก ได้พากันตั้งตัวในการศึกษาเชื้อตัวนี้ ทั้งทางด้านระบาดวิทยาและการรักษาโรค ทางด้านระบาดวิทยา ได้พบว่าเกือบครึ่งหนึ่งของประชากรโลกติดเชื้อ *H. pylori* ซึ่งในประเทศที่พัฒนาแล้วอาจสูงถึง 25% และในประเทศที่กำลังพัฒนาความชุกของการติดเชื้อนี้จะสูงถึง 80% (28) ผู้ติดเชื้อส่วนใหญ่แล้วจะไม่มีอาการทางคลินิก มีเพียง 20% ของผู้ติดเชื้อจะเกิดอาการรุนแรงทางคลินิก เช่น เกิดอาการกระเพาะอักเสบอย่างรุนแรง เกิดแผลในกระเพาะหรือในลำไส้ส่วนต้นและมะเร็งกระเพาะอาหาร (7) โดยที่สาเหตุของการเกิดโรคอาจมาจากหลายปัจจัย เช่น ปัจจัยจากผู้ติดเชื้อ ปัจจัยเฉพาะของเชื้อที่มีความรุนแรงต่างกัน ปัจจัยทางสิ่งแวดล้อมหรืออาหารเกิดจากปัจจัยร่วมที่กล่าวมาแล้ว ซึ่งปัจจุบันนี้ยังไม่สามารถสรุปสาเหตุที่ทำให้เกิดความรุนแรงของโรคได้อย่างชัดเจน (8) ในส่วนของปัจจัยเฉพาะของตัวเชื้อ *H. pylori* พบร่วมกับสาร *cagA* ซึ่งจะสร้าง interleukin 8 ในเซลล์เยื่อบุผิว ซึ่งสาร interleukin นี้จะเป็นตัวล่อให้เซลล์เม็ดเลือดขาวชนิด neutrophil เข้ามาในส่วนชั้นเนื้อเยื่อเก็บพันธุ์ของผนังเยื่อบุเมือก (lamina propria) ที่แทรกอยู่ระหว่างเซลล์เยื่อบุผิว (epithelium cell) ซึ่งการเกิดแผลอาจเกิดจาก neutrophil ที่มีจำนวนมากหลังสารที่มีคุณสมบัติย่อยเนื้อเยื่อ เช่น เอนไซม์ protease ออกมานะ (6) ส่วนสารพันธุ์ที่มีคุณสมบัติ vacA ซึ่งพบประมาณ 50% ของเชื้อจะผลิตสารพิษ vacuolating cytotoxin โดยเชื้อตัวนี้จะประกอบด้วยยีน 2 ชนิดคือชนิด signal sequence (s region) และชนิด middle region (m region) ซึ่งชนิด signal sequence แบ่งเป็นกลุ่มอยู่ s1 และ s2 ในกลุ่มอยู่ s1 ได้มีการแยกย่อยออกไปอีกคือ s1a, s1b และ s1c โดยเชื้อที่มีคุณสมบัติ s1, s1a จะทำให้เกิดโรคมากกว่าสารพันธุ์ที่มีคุณสมบัติ s1b หรือสารพันธุ์ s2 ส่วนยีน vacAm1 จะมีความสัมพันธ์กับการเกิดการทำลายเยื่อบุกระเพาะ (gastric epithelial damage) หากกว่าสารพันธุ์ m2 เชื้อแต่ละตัวอาจมีทั้งชนิด s และ m หรืออาจมีหลายชนิดอยู่ของ s และ m ก็ได้ ซึ่งสารพันธุ์ชนิด s1/m1 จะผลิตสารพิษ (cytotoxin) ในปริมาณที่สูงมาก ส่วน s1/m2 จะผลิตสารพิษในระดับปานกลาง ส่วน s2/m2 จะผลิตสารพิษในระดับน้อยมากหรืออาจไม่ผลิตเลย อย่างไรก็ตามสารพิษจาก m2 สามารถเหนี่ยวนำการเกิด vacuolation ในเซลล์กระเพาะได้ (17) ส่วนยีน iceA

คณะวิจัยของ Peek (29) พบว่ามียีนอยู่ 2 ชนิดคือ iceA1 และ iceA2 โดยกลไกการทำงานคล้ายๆ กับการทำงานของ type II restriction endonuclease ซึ่งจะเหนี่ยวแน่นำให้เกิดการภาวะติดกับเซลล์เยื่อบุผิว (epithelium cell) ในกระเพาะและอาจมีความสัมพันธ์กับการเกิดแผลในกระเพาะอาหาร อายุไร์คีตามหน้าที่ของยีน iceA ที่ชัดเจนยังไม่ทราบ

จากการที่มีรายงานการศึกษาอีนที่อาจเป็นสาเหตุทำให้เกิดความรุนแรงของโรคคือ ยีน cagA, vacA และ iceA ดังกล่าวข้างต้นแล้วได้มีรายงานการศึกษาถึงระบบดูดซึมยาโนเมลกูลของยีนดังกล่าวกับความสัมพันธ์กับโรคกระเพาะอาหารชนิดเป็นแผลและไม่เป็นแผลและ โรคมะเร็งกระเพาะอาหารจากประเทศที่อยู่ตามภูมิภาคต่างๆ ทั่วโลก เช่นประเทศไทย สหรัฐอเมริกา ประเทศในทวีปยุโรป ในทวีปอเมริกาใต้ ทวีปอฟริกา ทวีปแอเชียใต้และทวีปแอเชียตะวันออกเฉียงใต้ เป็นต้น ซึ่งผลการศึกษาจะมีความขัดแย้งกันอยู่บ้าง เช่น การศึกษาของประเทศแคนยูโรป พบเชื้อที่มียีน cagA อยู่ประมาณ 60-70% และพบว่ามีความสัมพันธ์กับการเกิดแผลในกระเพาะอาหาร (9, 10, 11, 12) ในขณะที่ประเทศแคนยูโรปแอเชียเช่น ในประเทศจีนซึ่งมีการศึกษาในเมืองต่างๆ หลายเมือง ประเทศญี่ปุ่น เกาหลี พบยีน cagA มากกว่า 90% และไม่พบความสัมพันธ์ของ cagA กับอาการทางคลินิก (14, 15, 16)

คณะวิจัยชุดนี้ได้ทำการศึกษาระบบดูดซึมยาโนเมลกูลของยีน cagA, vacA subtypes ชนิด s และ m และ iceA ของเชื้อ *H. pylori* และความสัมพันธ์ของยีนดังกล่าวต่ออาการทางคลินิกของผู้ป่วยโรคกระเพาะอาหารในภาคเหนือของประเทศไทย นับว่าเป็นการศึกษาอีน vacA subtypes และ iceA ฉบับแรกของประเทศไทย ซึ่งผลการศึกษาในตัวอย่างเนื้อเยื่อกระเพาะผู้ป่วยจำนวน 135 คน ตรวจพบยีน cagA ถึง 95.56% เมื่อใช้ primer ที่จำเพาะต่อเชื้อ *H. pylori* ที่ได้จากสายพันธุ์คนไทยและไม่พบความสัมพันธ์ระหว่างยีน cagA กับกลุ่มโรคกระเพาะชนิดต่างๆ ซึ่งผลจากการศึกษานี้เป็นไปในทิศทางเดียวกับผลการศึกษาจากประเทศในแคนยูโรปแอเชียเช่น จีน ญี่ปุ่น เกาหลี ได้หัวนและยองกง (26, 34, 35, 36) และการศึกษาในประเทศไทยของ Mahachai และคณะ ซึ่งใช้การตรวจหา antibody ต่อ cagA (13) การศึกษาอีน vacA subtypes ชนิด s และ m จะพบยีน vacAs1 มากที่สุด คณะวิจัยนี้ได้ใช้ PCR primer 2 คู่ ที่จำเพาะต่อยีน vacAs1 โดยให้ผลิตภัณฑ์ PCR ที่ 201 bp และ 259 bp พบความชุกของยีนนี้ 97.78 % และ 88.89% ตามลำดับ เมื่อออกรูปแบบ primer โดยให้จำเพาะต่อสายพันธุ์คนไทยของ vacAs1 (259 bp) พบว่าสามารถตรวจพบยีนดังกล่าวได้สูงถึง 99.26% ส่วน vacAs2 ตรวจไม่พบเลย ซึ่งแสดงให้เห็นว่าผู้ป่วยโรคกระเพาะอาหารจะติดเชื้อ *H. pylori* สายพันธุ์ vacAs1 เกือบทั้งหมด เมื่อศึกษาอีน vacAs1 โดยแบ่งย่อยเป็น s1a, s1b และ s1c จะพบยีน s1a 96.30% เมื่อใช้ primer จำเพาะต่อสายพันธุ์ของเชื้อในคนไทยรองลงมาคือ s1c พบ 66.67% ส่วน s1b ตรวจไม่พบเลย ซึ่งผลการศึกษานี้จะใกล้เคียงกับรายงานการศึกษาของ Li และคณะ (30) ที่รายงานการศึกษาในผู้ป่วยโรคแผลในกระเพาะและโรคมะเร็งกระเพาะในกรุงโชล ประเทศเกาหลี โดย

ใช้ primer คู่เดียวกันกับคอมวิจัยนี้ พบยืน s1a ถึง 100% แต่ไม่พบ s1b และพบ s2 ค่อนข้างต่ำ คือ 8.7% การศึกษาในเมืองเชียงใหม่ ประเทศจีน โดย Pan และคณะ (31) พบยืน s1a สูงถึง 91.67% เช่นเดียวกันและไม่พบยืน s1b และ s2 ซึ่งยืน 2 ตัวนี้จะพบบ่อยในประเทศไทย สรุปเมริกาและประเทศไทยวีปอเมริกาได้ เช่นประเทศไทยราชิต โคลัมเบีย และเม็กซิโก (21, 26, 32) ส่วนยืน s1c พบมากในประเทศไทย ช่องคงและได้วัน (33, 34, 35) ในส่วนของ vacA m-region พบ m1 มากกว่า m2 แต่อย่างไรก็ตาม ไม่มีนัยสำคัญทางสถิติ แสดงให้เห็นว่า ผู้ป่วยที่อยู่ในภาคเหนือของประเทศไทยจะติดเชื้อ *H. pylori* สายพันธุ์ที่ผลิตสารพิษเป็นจำนวนมาก (s1a, s1c และ m1) เมื่อศึกษาลิงยืน vacA ที่มีส่วนของยืนทั้ง r และ m ร่วมกันและยืนผสมของยืนบ่อย vacAs1 พบว่ายืนที่เป็นสายพันธุ์สมเช่น s1a/s1c หรือ m1m2 เช่นยืนร่วม s1/m1m2, s1a/m1m2, s1a/s1c, s1a/s1c/m1, s1a/s1c/m1m2 มีความสัมพันธ์กับการเกิดแพลงในลำไส้ส่วนต้นอย่างมีนัยสำคัญ ( $p<0.05$ ) ซึ่งผลการศึกษานี้จะถูกกับการศึกษาจากประเทศไทย Mexico ที่พบสายพันธุ์สมในผู้ป่วยที่เป็นแพลงในกระเพาะ (95%) มากกว่าผู้ป่วยที่ไม่เป็นแพลง (37%  $p<0.001$ ) (32) นอกจากนี้แล้วผลการศึกษานี้ยังพบว่าความชุกของเชื้อในตัวอย่างเดียวกัน มีสายพันธุ์ vacA มากกว่าหนึ่งสายพันธุ์ถึง 76.3% ซึ่งอาจไม่แปลไปทั้งนี้เพราะระบาดวิทยา ของเชื้อ *H. pylori* ในประเทศไทยมีความชุกค่อนข้างสูงทุกกลุ่มอายุเช่น การศึกษาในประชากรไทยภาคอีสานพบว่าเด็กอายุ 5-9 ปี จะพบเชื้อ 17.5% และเพิ่มขึ้นเป็น 55% ในกลุ่มอายุ 15-29 ปี และพบสูงถึง 75% ในกลุ่มอายุ 30-49 ปี และในเด็กที่อยู่บ้านเด็กกำพร้าที่มีอายุ 3-4 ปี จะมีอัตราการติดเชื้อสูงถึง 74% (36) การศึกษาในเด็กชายและหญิงที่มีสุขภาพดีในจังหวัดเชียงใหม่ อายุตั้งแต่ 2 เดือนจนถึง 16 ปี โดยใช้วิธีการตรวจที่แตกต่างกันตามอายุของกลุ่มศึกษา เช่น ตรวจหาแอนติบอดีต่อเชื้อในปัสสาวะ ด้วยวิธี immunochromatography และตรวจในตัวอย่าง อุจจาระในเด็กที่มีอายุต่ำกว่า 5 ปี ส่วนในเด็กโตจะใช้วิธี C-13-urea breath test พบอัตราชุกในเด็กหญิงคือ 51% และในเด็กชาย 44% (37) ล่าสุดการศึกษาระดับประเทศไทย ในปี พ.ศ. 2546 โดย Atisook และคณะ(38) ได้รายงานการติดเชื้อ *H. pylori* ทั่วทุกภาคโดยศึกษาผู้ป่วยที่มีประวัติ การเป็นโรคกระเพาะพบผู้ติดเชื้อถึง 48.2% และพบมากที่สุดในกลุ่มอายุ 31-60 ปี ดังนั้นการที่ประเทศไทยมีอัตราชุกของการติดเชื้อ *H. pylori* สูงทั้งในเด็กและผู้ใหญ่ การพบเชื้อมากกว่า หนึ่งสายพันธุ์ในคนเดียวกันอาจเกิดขึ้นได้เนื่องจากการติดเชื้อตั้งแต่เด็ก เชื้ออาจอยู่ในตัวเด็กจนโตหากไม่ได้รับการรักษา นอกจากนี้แล้ววิธีชีวิตของการอยู่ร่วมกันในครอบครัว เช่น วัฒนธรรม การรับประทานอาหาร โดยทั่วไปแล้วจะรับประทานร่วมกันและไม่นิยมใช้ช้อนกลาง นอกจากนี้แล้วความเป็นอยู่โดยทั่วไปโดยเฉพาะชาวชนบทจะไม่ค่อยถูกสูบลักษณะจึงทำให้เกิดการแพร์เชื้อระหว่างสมาชิกในครอบครัวและ/หรือนอกครอบครัวได้ การพบสายพันธุ์ของเชื้อ มากกว่าหนึ่งสายพันธุ์ได้มีรายงานจากคณะวิจัยอื่นๆ เช่น Gong และคณะ (39) พบสายพันธุ์ของยืน vacAm1m2 ในสองเมืองทางตอนเหนือของประเทศไทยถึง 44.86-52.38% การที่เชื้อ

helytaly พันธุ์อุยในกลุ่มผู้ติดเชื้อคนเดียวกันอาจสะท้อนให้เห็นถึงเชื้อ helytaly พันธุ์สามารถอยู่ร่วมกันในระบบทะาหารเดียวกันได้

การศึกษาในส่วนของยีน iceA ของคณะวิจัยชุดนี้พบ iceA1 (64.44%) มากกว่า iceA2 (28.89%) อย่างมีนัยสำคัญทางสถิติ ( $p<0.05$ ) และในกลุ่มเป็นแพลงไม้แนวโน้มพบ iceA1 มากกว่ากลุ่มไม่เป็นแพลง ยีน iceA1 น่าจะเป็นยีนเด่นในแบบทวีปเอเชีย โดยจากการรายงานการศึกษานาในประเทศญี่ปุ่น เกาหลี ช่องคงและไต้หวัน (26, 34, 35, 36) กลับยีน iceA1 มากกว่า iceA2 นอกจากนี้แล้วผลการศึกษานี้ยังแสดงให้เห็นว่าสายพันธุ์เชื้อ *H. pylori* ที่มีกลุ่มยีน cagA/vacAs1a/m1/iceA1, cagA/vacAs1c/m1/iceA1 และ cagA/vacAs1a/s1c/m1/iceA1 ซึ่งจะพบมากที่สุดในกลุ่มผู้ป่วยที่เป็นโรคแพลงในระบบทะาหารและลำไส้ส่วนต้น ลักษณะยีน vacA ชนิด m1 ร่วมกับยีน iceA1 สามารถบ่งชี้การเกิดแพลงในระบบทะาหารและลำไส้ส่วนต้นได้ดีที่สุด ซึ่งผลการศึกษานี้จะเป็นไปในทิศทางเดียวกันกับการศึกษาของ van Doorn และคณะ (40) ที่พบว่าเชื้อที่มียีนร่วม vacAs1/cagA<sup>+</sup>/iceA1 สามารถบ่งบอกได้ว่าเป็นตัวก่อโรคได้มากที่สุด และเป็นกลุ่มยีนที่พบมากที่สุดในผู้ป่วยที่เป็นแพลง

วิธีการศึกษาระบาดวิทยาไม่เลกุลของเชื้อ *H. pylori* ตลอดจนความสัมพันธ์ระหว่างยีน cagA, vacA subtypes ชนิด s และ m และยีน iceA กับลักษณะอาการทางคลินิกของโรคกระเพาะจะใช้วิธี PCR มาตรฐาน เทคนิค PCR based DNA fingerprinting เช่น Restriction Fragment Length Polymorphism (RFLP-PCR) (31) Multiplex PCR และวิธี Reverse hybridization-line probe assay (LiPA-PCR) (34) ในส่วนของวิธี PCR มาตรฐาน primer ที่ใช้จะต่างกันบ้าง ดังนี้นความไว (sensitivity) ในการตรวจจากต่างกัน ทำให้ความชุกของยีนที่ตรวจต่างกันด้วย nok จากนี้แล้วตัวอย่างเชื้อ *H. pylori* ที่ตรวจมาจากแหล่งที่ต่างกันเช่น มากจาก การเพาะเลี้ยง จากตัวอย่างเนื้อเยื่อกระเพาะที่ได้จากผู้ป่วยโดยตรง ตัวอย่างเนื้อเยื่อที่ฟังในพาราฟินซึ่งเก็บไว้หลังจากการตรวจด้วยวิธีทางพยาธิวิทยาหรือเนื้อเยื่อมาจากการตรวจวินิจฉัยโดยวิธี CLO test แล้วซึ่งจะมีข้อดีและข้อด้อยแตกต่างกันไป

จากการที่มีการนำวิธี PCR มาศึกษาในตัวอย่างเนื้อเยื่อที่ฟังในพาราฟินและเก็บไว้หลังจากการวินิจฉัยทางด้านพยาธิวิทยา เช่นการศึกษาโรคทางพันธุกรรม การวิจัยด้านมะเร็ง เพื่อศึกษาความสัมพันธ์ระหว่างการกลâyพันธุ์ของ oncogene และการเกิดโรคมะเร็ง และยังได้มีการนำมาศึกษาในเนื้อเยื่อที่ติดเชื้อแบคทีเรียหรือไวรัส ซึ่ง Greer และคณะ (41) ได้ประสบความสำเร็จในการสกัด DNA ที่มีขนาดระหว่าง 110-1327 bp จากเนื้อเยื่อที่ฟังในพาราฟินเพื่อใช้เป็นแม่พิมพ์ DNA ของการทำ PCR โดยพบว่าตัวอย่างเนื้อเยื่อที่ติดเชื้อ กลุ่มผู้ป่วยใน acetone หรือ 10% buffer neutral formalin ในส่วนของการศึกษาเชื้อ *H. pylori* ได้มีรายงานการใช้เนื้อเยื่อกระเพาะฟังในพาราฟิน ซึ่งเป็นตัวอย่างเนื้อเยื่อที่เก็บไว้หลังจากการตรวจวินิจฉัยด้วยวิธีทางพยาธิวิทยาแล้วโดยนำมาตรวจหา yin cagA, vacA และ iceA โดยวิธี PCR ในกลุ่มผู้ป่วยโรค

กระเพาะอักเสบรุนแรงและมะเร็งกระเพาะชนิด adenocarcinoma และ mucosa associated lymphoid tissue (MALT lymphoma) สามารถตรวจได้ 91 ใน 121 ตัวอย่าง (75.2%) (42) ใน การศึกษานี้คณวิจัยสามารถสกัด DNA ของเชื้อ *H. pylori* จากตัวอย่างที่ได้แช่ใน 10% buffer neutral formalin และผงในพาราฟิน 50 ใน 94 ตัวอย่าง (53.2%) โดยสกัดจากตัวอย่างเนื้อเยื่อ ผู้ป่วยที่เป็นโรคแพลในกระเพาะและแพลในลำไส้ส่วนต้น ได้สูงถึง 87.5% ส่วนในตัวอย่าง เนื้อเยื่อจากผู้ป่วยที่เป็นโรคมะเร็งในกระเพาะสามารถสกัดได้เพียง 16.7% ซึ่งประสิทธิภาพการ สกัดเชื้อได้ค่อนข้างดีอาจเนื่องมาจากเนื้อเยื่อที่เก็บไว้บางตัวอย่างค่อนข้างนานคือ ตั้งแต่ปี ค.ศ. 2000 และเนื่องมาจาก *H. pylori* เป็นเชื้อที่อาศัยอยู่ใต้เซลล์เยื่อเมือก (mucosa cell) ใน กระเพาะอาหารซึ่งอยู่ส่วนบน หากมีการตัดชิ้นเนื้อเพื่อวินิจฉัยทางพยาธิวิทยาหลายชิ้น อาจทำ ให้จำนวนเชื้อที่มีอยู่ตรงผิวคลดลงหรืออาจหมดไป ประสิทธิภาพในการสกัดเชื้อจากเนื้อเยื่อใน กลุ่มโรคมะเร็งค่อนข้างต่ำมาก อาจเป็นเพราะตำแหน่งการตัดชิ้นเนื้อกระเพาะอาจพบเชื้อน้อย ทั้งนี้ในส่วนเนื้อกระเพาะที่เป็นมะเร็งจะไม่พบเชื้อ *H. pylori* จึงต้องตัดจากตำแหน่งอื่น

ในประเทศที่กำลังพัฒนา การตรวจเชื้อ *H. pylori* ในผู้ป่วยที่เป็นโรคกระเพาะจะ นิยมใช้วิธีตรวจหาเอนไซม์ urease ในชิ้นเนื้อที่ได้จากการส่องกล้องกระเพาะ ทั้งนี้ เพราะราคา ค่อนข้างถูกและได้ผลรวดเร็ว Cutler และคณะ (43) ได้เสนอแนะว่าเมื่อตรวจเอนไซม์ urease ในชิ้นเนื้อและให้ผลบวกคงจะไม่จำเป็นที่จะตรวจวิธีอื่นเพิ่มเติม นอกจากเลียจากเมือผลเป็นลบ และมีการวินิจฉัยว่าผู้ป่วยน่าจะติดเชื้อ Linpisam และคณะ (25) ได้นำเอาชิ้นเนื้อที่ได้จากการ ตรวจวินิจฉัยเอนไซม์ urease โดยนำยาสำเร็จรูป CLO test<sup>®</sup> มาตรวจหาเชื้อ *H. pylori* โดยวิธี PCR พบร่วมกับ CLO test<sup>®</sup> นำมาสกัด DNA และตรวจหาเชื้อ *H. pylori* โดยใช้ primer ที่จำเพาะต่อยีนที่มีขนาด 860 bp โดยตัวอย่างที่ให้ผลบวกจะนำมาศึกษา yin cagA, vacA และ iceA และการนำเอานี้อีกจากการตรวจ CLO test<sup>®</sup> มาใช้ในการศึกษานี้ขอคือ “ไม่ จำเป็นต้องตัดชิ้นเนื้อเพิ่มและการประกันว่ามีเชื้อ *H. pylori* ในตัวอย่างเนื้อเยื่อ” ซึ่งหากยืนยัน ศึกษาสามารถบ่งบอกความรุนแรงของโรคได้ก็จะเป็นประโยชน์อย่างมากต่อการวางแผนการ รักษาให้มีประสิทธิภาพมากขึ้น

คณวิจัยนี้ใช้วิธี PCR มาตรฐานในการตรวจหา yin cagA, vacA subtypes ชนิด s และ m และ iceA และจากการศึกษาลำดับเบสของผลิตภัณฑ์ PCR ที่ได้เพื่อเป็นการยืนยันถึงยืน ที่ศึกษา ซึ่งพบลำดับเบสที่เหมือนกันที่รายงานใน GenbBank อยู่ในค่าเฉลี่ยระหว่าง 91.92-96.89% อย่างไรก็ตามยังมีความแตกต่างของลำดับเบสในแต่ละยีนอยู่บ้าง มีหลักฐานวิจัยที่รายงานถึง การออกแบบ primer ที่จำเพาะต่อ yin สายพันธุ์ที่พบในกลุ่มศึกษา เช่นการออกแบบ primer ที่ จำเพาะต่อ yin สายพันธุ์เชื้อ *H. pylori* ที่พบในประเทศไทยและญี่ปุ่น (14, 15, 22) สามารถตรวจ พบยีนของเชื้อ *H. pylori* ได้มากกว่า primer ที่ออกแบบจากลำดับเบสที่ได้จากเชื้อ *H. pylori*

สายพันธุ์ในผู้ป่วยชาวตะวันตก คณะวิจัยนี้ได้ออกแบบ primer ที่จำเพาะต่อเชื้อที่พบในคนไทย และพบว่าที่ตำแหน่งยืน cagA, vacAs1 และ vacAs1a สามารถตรวจพบยืนหลักนี้ได้มากกว่า เมื่อใช้ primer ที่ออกแบบจำเพาะต่อเชื้อที่พบในผู้ป่วยชาวตะวันตกอย่างมีนัยสำคัญทางสถิติ ( $p<0.05$ ) โดยตรวจพบยืนได้เพิ่มมากขึ้น 8.4%, 11.67% และ 18.19% ตามลำดับ

สรุปผลการวิจัยครั้งนี้ คณะวิจัยได้หาสภาวะที่เหมาะสม วิธี PCR มาตรฐานในการศึกษา yin cagA, vacA subtypes ชนิด s และ m และ iceA ของเชื้อ *H. pylori* โดยความไว (sensitivity) ที่ได้สามารถตรวจหา yin ในช่วง 1-10 genome ของเชื้อ การเพิ่ม sensitivity ของวิธี PCR โดยการออกแบบ primer ที่จำเพาะต่อลำดับเบสที่ได้จากสายพันธุ์ของเชื้อที่พบในผู้ป่วยคนไทย พบว่าที่ตำแหน่งยืน cagA vacAs1(259 bp) และ vacAs1a สามารถตรวจเชื้อได้มากกว่า primer ที่ออกแบบจำเพาะต่อสายพันธุ์ของเชื้อที่พบในผู้ป่วยชาวตะวันตก 8.4%, 11.67% และ 18.19% ตามลำดับ โดยจะมีความแตกต่างกันอย่างมีนัยสำคัญทางสถิติ ( $p<0.05$ ) การศึกษาระบาดวิทยาไม่เลกุลของ yin ดังกล่าวในผู้ป่วยโรคกระเพาะที่มีอาการทางคลินิกต่างกันจำนวน 135 คน พบ yin cagA สูงถึง 95.56% และ yin cagA จะไม่มีความสัมพันธ์กับอาการทางคลินิกของโรคกระเพาะอาหาร ส่วน yin vacA subtypes s และ m พบ yin vacAs1 โดยเมื่อใช้ primer 2 ชุด คือ primer ที่ให้ผลิตภัณฑ์ PCR ที่ 201 bp จะพบ vacAs1 97.78% เมื่อใช้ primer ที่ออกแบบโดยจำเพาะต่อสายพันธุ์ของเชื้อที่พบในคนไทย vacAs1 (259 bp) จะพบ 99.26% เมื่อศึกษา yin ของ vacAs1 คือ s1a, s1b, s1c และ s2 พบ yin s1a สูงสุดคือ 96.30% รองลงมาคือ s1c พบ 66.67% ส่วน s1b และ s2 ตรวจไม่พบร้อย ส่วน m-region ตรวจพบ m1 (59.3%) มากกว่า m2 (40.7%) และพบว่า vacAs1 และ vcaAs1a ไม่มีความสัมพันธ์กับอาการทางคลินิกของโรคกระเพาะ ส่วน yin ของ s1c จะพบว่าในกลุ่มโรค duodenal ulcer มากกว่าในกลุ่มโรค gastritis ( $p<0.001$ ) และมากกว่าในกลุ่ม peptic ulcer ( $p<0.05$ ) อย่างมีนัยสำคัญทางสถิติ ส่วน yin vacA subtypes ที่มีทั้งชนิด s และ m พบ vacAs1/m1 และ vacAs1a/m1 มากที่สุด โดยพบ 59.26% เท่ากัน รองลงมาคือ s1c/m1 พบ 51.85% ซึ่งยืนทั้ง 3 ชนิดไม่มีความสัมพันธ์กับความรุนแรงของโรคกระเพาะ ส่วน yin iceA พบ yin iceA1 มากกว่ายิน iceA2 อย่างมีนัยสำคัญทางสถิติ ( $p<0.05$ )

ในกลุ่มศึกษาจะพบ yin ของ vacAs1a และ s1c มากที่สุดคือ 66.67% และพบว่า กลุ่มโรค duodenal ulcer จะมีความชุกมากกว่ากลุ่มโรค gastritis อย่างมีนัยสำคัญ ( $p<0.0001$ ) ตัวอย่างที่มียืนพบ cagA/vacA/iceA จะพบ yin cagA/vacAs1a/m1/iceA1 มากที่สุดคือ 38.52% และพบว่ากลุ่ม yin ที่มีชนิด m1 และ iceA1 ซึ่งได้แก่กลุ่ม yin cagA/vacAs1a/m1/iceA1, cagA/vacAs1c/m1/iceA1 และ cagA/vacAs1a/s1c/m1/iceA1 จะพบในกลุ่มผู้ป่วยที่เป็นแพลมากกว่ากลุ่มที่ไม่เป็นแพล และพบว่ากลุ่ม duodenal ulcer จะมียืนกลุ่มนี้มากกว่ากลุ่ม gastritis อย่างมีนัยสำคัญ ( $p<0.05$ )

จากผลการศึกษาระบادวิทยาโนมเลกุลของยีน cagA, vacA subtypes ชนิด s และ m และยีน iceA ของเชื้อ *H. pylori* สามารถนำมาเป็นข้อมูลพื้นฐานในกลุ่มประชากรภาคเหนือ และยังเป็นข้อมูลเพื่อนำไปผลิตวัคซีนที่จำเพาะต่อเชื้อสายพันธุ์คนไทย การพบยีน cagA, vacAs1 และ vacAs1a มากในประชากรศึกษาอาจนำมายืนยันมาเป็นปัจจัยในการพัฒนา น้ำยาเพื่อตรวจหาเชื้อ *H. pylori* ในน้ำเหลือง (serology test) การตรวจเชื้อโดยใช้ตัวอย่าง อุจจาระหรือปัสสาวะได้ ข้อมูลที่ได้จากการพับยีนผสานอาจนำไปสู่การศึกษาถึงวิธีการ แพร่กระจายเชื้อในครอบครัว เช่นการแพร่เชื้อจากแม่สู่ลูก เพื่อให้เกิดความเข้าใจถึงการติดต่อ จากรากค่าสู่ทารก เพื่อป้องกันการติดเชื้อระยะยาวตั้งแต่วัยเด็ก นอกจากนี้แล้วเทคนิคการสกัด เชื้อ *H. pylori* จากเนื้อยื่อที่ฝังในพาราฟินที่คงไว้ได้ปรับปรุงและพัฒนาโดยอ้างอิงจาก คณวิจัยอื่น สามารถนำตัวอย่างเนื้อยื่อที่ได้รับการวินิจฉัยทางพยาธิวิทยาและเก็บไว้มีศึกษา ระดับโนมเลกุลของโรคต่างๆ เช่นความสัมพันธ์ของเชื้อ *H. pylori* กับโรคมะเร็งตับ เป็นต้น



ลิขสิทธิ์มหาวิทยาลัยเชียงใหม่  
Copyright© by Chiang Mai University  
All rights reserved

## เอกสารอ้างอิง

1. Goodwin CS, Mendall MM, Northfield TC. *Helicobacter pylori* infection. Lancet 1997 ;349:265-269.
2. International Agency for Research on Cancer. World Health Organization : Schistosomes, liver flukes and *Helicobacter pylori* IARC Monogr Eval Carcinog Risks Hum. 1994 ;61:218 -220.
3. *Helicobacter pylori* in peptic ulcer disease. NIH consensus statement. 1994 ;12(1). 1 -23.
4. ศิริวัฒน์ อนันตพันธุ์พงศ์. Epidemiology of *H.pylori* in Thailand. เอกสารประกอบการประชุม Thailand consensus for the management of dyspepsia and *Helicobacter pylori*. 27 -29 มกราคม 1999 ณ ศูนย์ฝึกอบรมธุนาการ ไทยพานิชย์ จังหวัดเชียงใหม่
5. Peerakome S, Vannareumol P, Linpisarn S, Lertprasertsuke N, Sanchaimoon N, Phornphutkul K. Comparison of diagnostic methods for *Helicobacter pylori* infection in peptic ulcer patient. Bull. Chiang Mai Assoc Med Sci. 1996;26 (2):53-62.
6. Marshall BJ. *Helicobacter pylori* in the year 2000. <http://www.helicobacter-pylori.com>
7. Atherton JC. *H.pylori* virulence factors. In:British Medical Bulletin(England) 1998;54(1)105-
8. Taylor DN and Blaser MJ. The epidemiology of *Helicobacter pylori* infection. Epidemiol Res.1991;13:42-59.
9. Cover TL, Dooley CP and Blaser MJ. Characterization of and human serologic response to protein in *Helicobacter pylori* broth culture supernatant with vacuolizing cytotoxin activity. Infect Immun. 1990;58:603 - 610.
10. Crabtree JE , Taylor J., Wyatt I, Heatley RV, Shallcross TM, Tompkins DS and Rathbone BJ. Mucosal IgA recognition of *Helicobacter pylori* 120 kDa protein, peptic ulceration and gastric pathology. Lancet.1993;338:332-335.
11. Covacci A, Censini S., Burroni M, Macchia G, Massone A, Papini E, Xiang Z, Figura N and Rappuoli R. Molecular characterization of the 128 kDa

- immunodominant antigen of *Helicobacter pylori* associated with cytotoxicity and duodenal ulcer. Proc Natl Acad Sci USA. 1993;90:5791-5795.
12. Weel JFL, Van der Hulst RWM, Gerrits Y, Roorda P, Feller M, Dankert J, Tytgat GNT and van der Ende A. The interrelationship between cytotoxin - associated gene A vacuolating cytotoxin and *Helicobacter pylori* - related disease. J Infect Dis. 1996;173:1171 - 1175.
  13. Mahachai V, Tangkijvanich P, Wannachai N, Sumpathanukul P and Kullavanijaya P. CagA and VacA : Virulence factors of *Helicobacter pylori* in Thai patients with gastroduodenal diseases. *Helicobacter*. 1999;4(3).143-147.
  14. Pan ZJ, vander Hulst RWN, Feller M, Xiao SD, Tytgat GNT, Dankert J and vander Ende A. Equally high prevalences of infection with cagA - positive *Helicobacter pylori* in Chinese patients with peptic ulcer disease and those with chronic gastritis - associated dyspepsia. J Clin Microbiol 1997;35:1344-1347.
  15. Ito Y, Azuma T, Ito S, Miyaji H, Hirai M, Yamazaki Y, Sto F, Kato T, Kohli Y and Kuriyama M. Analysis and typing of the vacA gene from cagA positive strains of *Helicobacter pylori* isolated in Japan. J Clin Microbiol. 1997;35: 1710 - 1714.
  16. Park SM, Park J, Kim JG, Cho HD, Cho JH, Lee DH and Cha YJ. Infection with *Helicobacter pylori* expressing the cagA gene is not associated with an increased risk of developing peptic ulcer disease in Korean patients. Scand. J. Gastroenterol. 1998;33:923 - 927.
  17. Atherton JC, Cao P, Peek RM, Tummuru MKR, Blaser MJ and Cover TL. Mosaicism in vacuolating cytotoxin alleles of *Helicobacter pylori* : Association of specific vacA types with cytotoxin production and peptic ulceration. J Biol Chem. 1995;270(30): 17771 - 17777.
  18. Atherton JC, Peek RM, Tham KT, Cover TH and Blaser MJ. The clinical and pathological importance of heterogeneity in vacA encoding the vacuolating cytotoxin of *Helicobacter pylori*. Gastroenterology. 1997; 112: 92-99.
  19. Rudi J, Kolb C, Maiwald M, Kuck D, Sieg A, Galle PR and Stremmel W. Diversity of *Helicobacter pylori* vacA and cagA genes and relationship to vacA and cagA protein expression cytotoxin production and associated disease. J Clin Microbiol. 1998;36(4):944 - 948.

20. Sillakivi T, Aro H, Ustar M, Peetsalu M, Peetsalu A, Mikelsaar M. Diversity of *Helicobacter pylori* genotypes among Estonian and Russian patients with perforated peptic ulcer, living in Southern Estonia. FEMS Microbiology Letters. 2001;195:29-33.
21. Ashour AAR, Magalhaes PP, Mendes EN, Collares GB, de Gusmao VR, Queiroz DMM, M.F Nogueira AM, Rocha GA and de Oliveira CA, Distribution of vacA genotypes in *Helicobacter pylori* strains isolated from Brazilian adult patients with gastritis, duodenal ulcer or gastric carcinoma. FEMS Immunology and Medical Microbiology. 2002;33:173-178.
22. Kawamata O, Yoshida H, Hirota K, Yoshida A, Kawaguchi R, Shiratori Y and Omata M. Nested - polymerase chain reaction for the detection of *Helicobacter pylori* infection with novel primers designed by sequence analysis of urease a gene in clinically isolated bacterial strains. Biochem Biophy Res Com. 1996;219:266 - 272.
23. สุกัญญา ลินพิศาล, กรรณิกา พรพัฒน์กุล, Heinrich F Steger, นิรัชร์ เลิศประเสริฐ สุข และกุลรัณญา พรหมเมืองยอง. การตรวจหาเชื้อ *Helicobacter pylori* ในตัวอย่างเนื้อเยื่ออරганเฉพาะอาหาร โดยวิธี Polymerase Chain Reaction. รายงานการวิจัยฉบับสมบูรณ์ มหาวิทยาลัยเชียงใหม่. มิถุนายน 2545.
24. QIAamp® DNA MiniKit and QIAamp DNA Blood MiniKit hand book. Isolation of genomic DNA from paraffin-embedded tissue. February 2003 page 50-51.
25. Linpisarn S, Koosirirat C, Prommuangyong K, Suwan W, Lertprasertsuke N and Phornphutkul K. Use of different PCR primers and gastric biopsy tissue from CLO test for the detection of *Helicobacter pylori*. Southeast Asian J Trop Med Public Health. 2005; 36(1): 135-140.
26. Yamaoka Y, Kodama T, Gutierrez O, Kim JG, Kashima K and Graham DY. Relationship between *Helicobacter pylori* iceA, cagA and vacA status and clinical outcome: Studies in four different countries. J Clin Microbiol 1999; 37(7): 2274-2279.
27. Marshall BJ, Warren IB. Unidentified curved bacilli in the stomach of patients with gastritis and peptic ulceration. Lancet 1984; 1: 1311-1315.
28. Pounder RE. The prevalence of *Helicobacter pylori* in different countries. Aliment Pharmacol Ther 1995; 9(Suppl 2): 33-40.

29. Peek PM, Thomson SA, Donahue IP et al. Adherence to gastric epithelial cells induces expression of a *Helicobacter pylori* gene, iceA, that is associated with clinical outcome. Proc Assoc Am Physician 1998; 6: 531-44.
30. Li L, Graham DY, Gutierrez O, Kim JG, Genta RM, EL-Zimaity HM and GO MF. Genomic fingerprinting and genotyping of *Helicobacter pylori* strains from patients with duodenal ulcer or gastric cancer from different geographic regions. Dig Dis Sci 2002; 47(11): 2512-2518.
31. Pan ZJ, Berg DE, Van der Hulst RWM, Su WW, Raudonikiene A, Xiao SD, Dankert J, Tytgat GNJ and Van der Ende A. Prevalence of vacuolating cytotoxin production and distribution of distinct vacA Alleles in *Helicobacter pylori* from China. J Infect Dis 1998; 178: 220-6.
32. Gonza'lez-valencia G, Atherton JC, Munoz M, Dehesa M, Garza AML and Torres J. *Helicobacter pylori* vacA and cagA genotypes in Mexican adults and children. J Infect Dis 2000; 182: 1450-4.
33. Kim SY, Woo CW, Lee YM, Son BR, Kim JW, Chae HB, Y SJ, Park SM. Genotyping cagA vacA subtype, iceA1 and babA of *Helicobacter pylori* isolates from Korean patients and their association with gastroduodenal disease. J Korean Med Sci 2001; 16: 579-84.
34. Wong BCY, Yin Y, Brerg DE, Xia HHX, Zhang JZ, Wang WH, Wong WM, Huang XR, Tang VSY and Lam SK. Distribution of distinct vacA, cagA and iceA alleles in *Helicobacter pylori* in Hong Kong. Helicobacter 2001; 6(4): 317-324.
35. Lin HJ, Perng CL, Lo WC, Wu CW, Tseng GY, Li AFY, Sun IC, Ou YH. *Helicobacter pylori* cagA, iceA and vacA genotypes in patients with gastric cancer in Taiwan. World J Gastroenterol 2004; 10(17): 2493-2497.
36. Perez-Perez GI, Taylor DN, Bodhidatta L et al. Seroprevalence of *Helicobacter pylori* infections in Thailand. J Inct Dis 1990; 161: 1237-41.
37. Booyaritichaikij S, Kuwabara K, Matsushisa T et al. Prevalence of *Helicobacter pylori* infections in Chiang Mai. Chiang Mai Medical Bulletin 2001; 40(3): suppl: 19.
38. Atisook K, Kachinthorn U, Luengrojanakul R et al. Histology of gastric and *Helicobacter pylori* infection in Thailand: a nationwide study of 3776 cases. Helicobacter 2003; 8(2): 132-141.

39. Gong YH, Wang Y, Yuan Y. Distribution of *helicobacter pylori* in north China. World J Gastroenterol 2005; 11(23): 3523-3527.
40. van Doorn LJ, Figueiredo C, Sanna R, Plaisier A, Schneeberger P, Boer WD and Quint W. Clinical relevance of cagA, vacA and iceA status of *Helicobacter pylori*. Gastroenterology 1998; 115: 58-66.
41. Greer CE, Peterson SL, Kiviat NB and Manos MM. PCR amplification from paraffin-embedded tissues. Am J Clin Pathol. 1991; 95(2): 117-124.
42. Koehler CI, Mues MB, Dienes HP, Kriegsmann, Schirmacher P, Odenthal M. *Helicobacter pylori* genotyping in gastric adenocarcinoma and MALT lymphoma by multiplex PCR analysis of paraffin wax emdedded tissues. J Clin Pathol: Mol Pathol 2003; 56: 36-42.
43. Cutler AF, Havstad S, Ma CK etal. Accuracy of invasive and noninvasive tests to diagnose *Helicobacter pylori* infection. Gastroenterology 1995; 109: 136-41.

ลิขสิทธิ์มหาวิทยาลัยเชียงใหม่  
Copyright© by Chiang Mai University  
All rights reserved

## ภาคผนวก 1

- 1.1 การสกัด DNA ของเชื้อ *H. pylori* จากเนื้อเยื่อกระเพาะอาหาร โดยการใช้น้ำยาสำเร็จรูป QIAamp<sup>®</sup> DNA Mini Kit
- 1.2 การเพิ่มปริมาณ DNA ในหลอดทดลองโดยวิธี PCR
- 1.3 การตรวจผลิตภัณฑ์ PCR โดยวิธี Electrophoresis
- 1.4 การหาลำดับเบสของผลิตภัณฑ์ PCR



ลิขสิทธิ์มหาวิทยาลัยเชียงใหม่  
Copyright<sup>©</sup> by Chiang Mai University  
All rights reserved

## ภาคผนวก 1

### 1.1 การสกัด DNA ของเชื้อ *H. pylori* จากเนื้อเยื่ออร��เพาะอาหาร โดยการใช้น้ำยา

#### สำเร็จรูป QIAamp<sup>®</sup> DNA Mini Kit

- 1) นำเนื้อเยื่ออรณาหารใส่ลงใน microcentrifuge tube ขนาด 1.5 ml เติม Buffer ATL 180 μl และ Proteinase K 20 μl
- 2) ผสมให้เข้ากันโดยใช้ vortex mixer ปั่นเพื่อให้เนื้อเยื่อจะมอยู่ใต้น้ำยา
- 3) Incubate ที่ 56 °C overnight
- 4) ปั่นที่ 7,000 rpm 30 sec.
- 5) เติม Buffer AL 200 μl ผสมให้เข้ากันโดยใช้ vortex mixer ปั่นที่ 7,000 rpm 30 sec.
- 6) Incubate ที่ 70 °C เป็นเวลา 10 นาที
- 7) เติม ethanol 200 μl ผสมให้เข้ากัน ปั่นที่ 7,000 rpm 30 sec.
- 8) คุณลักษณะจากข้อ 7. ใส่ลงไปใน QIAamp Spin Column ที่บรรจุลงใน collection tube ขนาด 2 ml
- 9) ปั่นที่ 8,000 rpm เป็นเวลา 1 นาที แล้วกำจัดสารละลายที่กรองได้ใน collection tube ออกร
- 10) นำ QIAamp Spin Column บรรจุลงใน collection tube อันเดิม
- 11) เติม Buffer AW I 500 μl ปิดฝา
- 12) ปั่นที่ 8,000 rpm เป็นเวลา 1 นาที แล้วกำจัดเอาสารละลายที่กรองได้ใน collection tube ออกร
- 13) นำ QIAamp Spin Column บรรจุลงใน collection tube อันเดิมอีกครั้ง
- 14) เติม Buffer AW II 500 μl ปิดฝา
- 15) ปั่นที่ 8,000 rpm เป็นเวลา 1 นาที แล้วกำจัดเอาสารละลายที่กรองได้ใน collection tube ออกร
- 16) นำ QIAamp Spin Column บรรจุลงใน microcentrifuge tube ใหม่ขนาด 1.5 ml
- 17) เติม Buffer AE 200 μl ทิ้งไว้ที่อุณหภูมิห้องนาน 1 นาที
- 18) ปั่นที่ 8,000 rpm นาน 1 นาที
- 19) สารละลายที่กรองได้คือ DNA ที่สกัดได้
- 20) เก็บ DNA ที่สกัดได้ที่ 4 °C เพื่อนำไปวิเคราะห์หาเชื้อ *H. pylori* โดยวิธี PCR ต่อไป

## 1.2 การเพิ่มปริมาณ DNA ในหลอดทดลองโดยวิธี PCR

### 1.2.1 สารเคมี สำหรับการทำ PCR

- 10 × Tag Buffer
  - 200 mM Tris (pH 8.4)
  - 500 mM KCl
  - 15 mM MgCl<sub>2</sub>
  - 0.1 % BSA
  - 0.5 % Tween
- สารละลาย dNTPs ประกอบด้วย dATP, dCTP, dGTP และ dTTP ที่มีความเข้มข้นอย่างละ 1 mM
- primer mixture (5 μM)
- Tag DNA polymerase (5 U/μl)
- Hot start Taq, AmpliTaq Gold®

### 1.2.2 การเตรียม PCR reaction mixture มีดังนี้

Component	Vol. (ul)	Final concentration
10 × Tag Buffer	1	1 × Tag Buffer
dNTPs	2	200 uM/each
primer mixture	0.5	0.25 uM/each
Tag DNA polymerase	0.05	0.25 U
Distilled water	4.45	
DNA template	2	
Total volume	10 ul	

Copyright © by Chiang Mai University  
All rights reserved

### 1.2.3 การเพิ่มปริมาณ DNA โดยใช้ Thermocycle โดยใช้ PCR condition ดังนี้

#### โปรแกรมที่ 1

denaturation	95 °C	2.30 นาที
		(1 รอบ)

#### โปรแกรมที่ 2

denaturation	94 °C	0.30 นาที
annealing	52 °C	1.00 นาที
extension	72 °C	1.00 นาที
		( 40 รอบ )

#### โปรแกรมที่ 3

extension	72 °C	7.00 นาที
		( 1 รอบ )

## 1.3 การตรวจผลิตภัณฑ์ PCR โดยวิธี Electrophoresis

### 1.3.1 สารเคมีที่ใช้

- 0.5 × TBE  
89 mM Tris  
89 mM  $\text{H}_3\text{BO}_3$   
2 mM EDTA
- 2 % agarose gel  
ชั้ง agarose gel 1.5 g ใน Erlenmeyer flask

เติม 0.5 × TBE 75 ml ต้มจนสารละลายเดือดและใส

เทสารละลายลงบนแม่พิมพ์ขนาด  $10 \times 10 \text{ cm}^2$

- Ethidium bromide solution

Ethidium bromide 7 ul

0.5 × TBE 150 ul

- Loading buffer

0.25 % Xylene cyanol

30 % glycerol

ลิขสิทธิ์มหาวิทยาลัยเชียงใหม่  
Copyright © by Chiang Mai University  
All rights reserved

### 1.3.2 การทำ agarose gel electrophoresis

- แช่ 2% agarose gel ในสารละลาย ethidium bromide ประมาณ 30 นาที
- Load 7 ul PCR product with loading buffer (5 ul PCR product + 2 ul loading buffer)
- ทำ electrophoresis ใน  $0.5 \times$  TBE buffer ด้วยกระแสไฟฟ้า 100 mAmp ประมาณ 40 นาที หรือจนกว่าสีของ xylene cyanol เคลื่อนที่ออกจาก well ประมาณ 1-1.5 เซนติเมตร
- ตรวจดูแบบ DNA ภายใต้แสง ultraviolet ถ่ายรูปโดยใช้เครื่อง Photodocumentation system

## 1.4 การหาลำดับเบสของผลิตภัณฑ์ PCR

### 1.4.1 ขั้นตอนการทำ DNA sequencing

#### 1) เตรียม PCR product

- ทำการ amplify DNA ตัวอย่างที่ต้องการ ตามสภาวะที่เหมาะสมของ primer แต่ละชนิด เพื่อเพิ่มปริมาณ DNA เป้าหมาย ประมาณ 20  $\mu$ l

#### 2) ตรวจสอบผลิตภัณฑ์ DNA เป้าหมาย โดยการ run gel electrophoresis

- ทำการ run DNA (ที่ได้จากข้อ 1) 4  $\mu$ l บนเจล 2 % agarose โดยใช้กระแสไฟฟ้า 100V.

#### 3) การ purify DNA

- โดยใช้ ExoSAP-IT 3  $\mu$ l ต่อ PCR product 7.5  $\mu$ l ทำการบ่ม ที่อุณหภูมิ 37 องศาเซลเซียส เป็นเวลา 15 นาที จากนั้น นำมามบ่มต่อที่อุณหภูมิ 80 องศาเซลเซียส เป็นเวลา 15 นาที

#### 4) ตรวจสอบผลิตภัณฑ์ DNA อีกครั้ง โดยการ run gel electrophoresis

- ทำการ run DNA (ที่ได้จากข้อ 3) 4  $\mu$ l บนเจล 2 % agarose โดยใช้กระแสไฟฟ้า 100V.

#### 5) การทำ cycle sequencing

- a. เตรียม template

- โดยการกะปริมาณของ DNA จาก band ที่ได้จาก การ run gel ในข้อ 4 (สำหรับ PCR product ขนาด 200-500 bp ต้องใช้ปริมาณ DNA ประมาณ 3-10 ng)

b. เตรียม primer

- เตรียม primer สายเดี่ยว ให้มีความเข้มข้น 1.6 μmol (final concentration เท่ากับ 3.2 pmol ใน 20 μl)

c. เตรียม reaction (Total 10 μl)

- Termination ready reaction mix 4.0 μl
- Primer 3.2 pmol  
(final concentration)
- Deionized water
- Template (PCR product DNA) ขึ้นอยู่กับขนาดของ DNA สายDNA ยาว 200-500 bp ต้องใช้ 3-10 ng

d. ทำ cycle sequencing สำหรับเครื่อง Gene Amp 9700

- นำ tube ที่เตรียม reaction ในข้อ 5.3 ใส่เครื่อง Gene Amp 9700
- ตั้งโปรแกรมที่ใช้ในการทำ cycle sequencing ดังนี้ 96 °C, 10s ; 5 °C, 5s; 60 °C, 4 min จำนวน 25 รอบ
- เก็บไว้ที่ 4 °C จนกว่าจะทำการตกลง DNase

6) การตกลง DNA โดยวิธี Isopropanol precipitation

- ปีเปต DNA ที่ผ่านการทำ cycle sequencing แล้ว 10 μl ลงใน tube 1.5 ml และเติมน้ำสะอาด 10 μl
- เติม 75% Isopropanol 80 μl, ปิดฝา, mix ให้เข้ากัน แล้ว spin down
- ตั้งทิ้งไว้ 1-24 ชั่วโมง, ไม่ควรให้ถูกแสง
- ปั่นด้วยความเร็วสูงสุดที่ 14,000 rpm, 20 นาที
- ดูดสารละลายน้ำบนออกให้หมด (ควรดูดเบาๆ และสังเกตตกลง DNA)
- เติม 75% Isopropanol 250 μl, ปิดฝา, mix ให้เข้ากัน แล้ว spin down
- ปั่นด้วยความเร็วสูงสุดที่ 14,000 rpm, 5 นาที

- ดูดสารละลายด้านบนออกให้หมด (ควรดูดเบาๆ  
และสักเกตตะกอน DNA)
- เปิดฝา tube ทิ้งไว้ประมาณ 1-2 ชั่วโมง (สักเกตว่า  
ไม่มีสารละลายเหลืออยู่ใน tube) และวิธีปิดฝา แล้ว  
นำไปที่ -20 °C

7) วิเคราะห์หลักดับเบลโดยส่ง DNA ไปยังหน่วยบริการชีวภาพ

BSU



ลิขสิทธิ์มหาวิทยาลัยเชียงใหม่  
Copyright© by Chiang Mai University  
All rights reserved

## ภาคผนวก 2

ตัวอย่าง sequence Electrogram และลำดับเบสจาก GenBank

- 2.1 cagA gene
- 2.2 vacAs1 gene (201 bp)
- 2.3 vacAs1 gene (259 bp)
- 2.4 vacAs1a gene
- 2.5 vacAs2a gene
- 2.6 vacAm2 gene
- 2.7 vacAm m1 gene
- 2.8 vacAm m2 gene
- 2.9 iceA1 gene

ลิขสิทธิ์มหาวิทยาลัยเชียงใหม่  
Copyright© by Chiang Mai University  
All rights reserved

**cagA gene**

L11714. Reports *Helicobacter pylo...* [gi:290950] Links  
 LOCUS HECMAJANT 4826 bp DNA linear BCT 11-JUN-1993  
 DEFINITION *Helicobacter pylori* major antigen gene sequence.  
 ACCESSION L11714  
 VERSION L11714.1 GI:290950  
 KEYWORDS major antigen.  
 SOURCE *Helicobacter pylori*  
 ORGANISM *Helicobacter pylori*  
 Bacteria; Proteobacteria; Epsilonproteobacteria;  
 Campylobacterales;  
 Helicobacteraceae; Helicobacter.  
 REFERENCE 1 (bases 1 to 4826)  
 AUTHORS Tummuru, M.K., Cover, T.L. and Blaser, M.J.  
 TITLE Cloning and expression of a high-molecular-mass major antigen of  
*Helicobacter pylori*: evidence of linkage to cytotoxin  
 production  
 JOURNAL Infect. Immun. 61 (5), 1799-1809 (1993)  
 PUBMED 8478069  
 COMMENT Original source text: *Helicobacter pylori* (library: lambda ZAP; ATCC 53726) DNA.  
 FEATURES Location/Qualifiers  
 source 1..4826  
 /organism="Helicobacter pylori"  
 /mol\_type="genomic DNA"  
 /db\_xref="taxon:210"  
 /tissue\_lib="lambda ZAP; ATCC 53726"  
 ORIGIN  

```

  1 ctagggctg cgcgtaacga aaaacagtgc ctgacacct tttgatgtca tcagagattt
  61 tccaaatatac cgctatacct ttgactccct aagcgcaacc acctacgatc gctagaacag
  121 aaatgatctg aaccaccaa gttttagtct cagtaatgcc tgatcgagga ctgtcgaaag
  181 ccattaaagg attggctgct atcgctagcc ctaaaggttac tacaactttc ttgttagctgt
  241 cagtgattct tgtaaaaaat ttcatgcgtt tccttc当地 ttgaaatcaa tcgtttgagt
  301 atatcaaaaa aaagtatttt tatactattc atacaagcgc tactttataa tttaaatcaa
  361 aaccgacgct tttgttgac aactgatata atttaggaac aataaaccta cttgtcccaa
  421 ccattttct ttctcaagtc atcgtagaat tgtagatctt taggatctt gatgtatttt
  481 ttaatcgctc caggttgaaa cctaaaaaca agcagaaaca aacccaagct gatcagagtg
  541 agaataaagc tccattttaa gcaactccat aaaccactaa agaaactttt tttgagactc
  601 tctttgaaaa tctgtccstat tgatttttgc tcattttgtt ttcccatgcg gatcacaaac
  661 gcttaattac aaatacatac tataataagt atggcacaca caaaccaaac cattttttaga
  721 acgttccatg cactcacctt gtccttaacc atttctccaa ccatctttag cgttgcattt
  781 gatttctca aaaaggctca tttcttagtt tcctttattt taaaattttt tccattcttag
  841 caaatttttgc ttaattgtgg gtaaaaatgt gaatcggtcc tagcttttag acgcttgcaa
  901 cgatcgact ttttcaata ttaatgaaaa aatgccaaat attctaaata ttgtgtata
  961 gtgataacgt tcaaaagacac gaattgcata ctcaaagtgt gtagtagttt ttgcggct
  1021 ttgataccaa taagataccg ataggtatga aacttaggtat agaaggagaa acaatgacta
  1081 acgaaactat tgaccaacaa ccacaaaccg aagcggctt taaccggcag caatttatca
  1141 ataatctca agtagttt cttaaaggta ataaacgctgt cgcttcatac gatcctgatc
  1201 aaaaaccaat cgttgataag aacgataggg ataacaggca agctttttag ggaatctcgc
  1261 aattaaggaa agaatactcc aataaagcga tcaaaaaatcc taccaaaaag aatcagtatt
  1321 tttcagactt tatcaataag agcaatgatt taatcaacaa agacaatctc attgtcggtt
  1381 aatcttccac aaagagctt cagaaatttg gggatcagcg ttacccgattt ttcacaagtt
  1441 gggtgtccca tcaaaacgtat ccgtctaaaa tcaacacccg atgcatccga aattttatgg
  1501 aacataccat acaacccctt atccctgtat acaaagaaaa agcagagttt ttgaaatctg
  1561 ccaaacaatc ttttgcagga atcatcatag ggaatcaaat ccgaacggat caaaaattca
  1621 tggcggtt tgatgaatcc ttgaaagaaa ggcaagaagc agaaaaaaat ggagggccta
  1681 ctggtgaaa ttggtggat attttttat catttatatt tgacaaaaaa caatcttctg
  
```

1741 atgtcaaaga agcaatcaat caagaaccac ttccctcatgt ccaaccagat atagccacta  
 1801 gcaccacta catacaaggc ttaccgcctg aatctaggga tttgcttcat gaaaggggta  
 1861 atttttctaa attcactctt ggcgatatgg aaatgttaga tggtagggc gtcggccaca  
 1921 tggatcccaa ttacaagtcc aatcaattat tgattcacaa taacactctg tcttcgtgt  
 1981 taatggggag tcatgatggc atagaacctg aaaaagttt attattgtat gcgggcaatg  
 2041 gtggtttgg agccaagcac gattggaacg ccaccgttg ttataaagac caacaaggta  
 2101 acaatgtggc tacaataatt aatgtgcata taaaaaacgg cagtggctta gtcatagcag  
 2161 gtggtgagaa aggattaac aaccctagtt ttatctcta caaagaagac caactcacag  
 2221 gtcacaacg agcattgagt caagaagaga tccaaaacaa aatagatttc atggaatttc  
 2281 ttgcacaaaa caatgctaa ttagacagct tgagcgagaa agagaaagaa aaattccgaa  
 2341 atgagattaa ggatttccaa aaagactcta agccttattt agacgcccta gggatgatc  
 2401 gtattgcttt tgtttctaaa aaagacccaa aacattcagc tttattact gagtttaata  
 2461 agggggattt gagctacact ctcaaaagttt tggaaaaaaa gcagataaag gcttttagata  
 2521 gggagaaaaa tgtcaactttt caaggttaacc taaaacatga tggcgtgatg tttgttaatt  
 2581 attctaattt caaatacaccc aacgcctcca agagtcacca taagggtgt ggcgttacga  
 2641 atggcgttcc ccattttagaa gcaggctta gcaaggtggc tgcgtttaat ttgcctaatt  
 2701 taaataatct cgctatcact aatgtcgtaa ggcgggattt agaggataaa ctaatcgota  
 2761 aaggattgtc cccacaagaa gctaataagc ttgtcaaaga tttttgagt agcaacaaag  
 2821 aattgggtgg aaaagcttta aacttcata aagctgtac tgaagctaaa aacacaggca  
 2881 actatgacga ggtgaaacga gctcagaaag atcttgaaaa atctctaaag aaacgagagc  
 2941 atttggagaa gggagatgt gcgaaaaattt tggagagcaa aagcggcaac aaaaataaaaa  
 3001 tggaaagccaa agctcaagct aacagccaa aagatgagat tttgcgtt atcaataaaag  
 3061 aggctaatag agacgcaaga gcaatcgctt acgctcaaaa tcttaaaggc atcaaagg  
 3121 aattgtctga taaacttgaa aatatcaaca agatttgaa agactttagt aaatctttt  
 3181 atggattcaa aaatggccaa aataaggatt tcagcaaggc agaagaaacg ctaaaagccc  
 3241 ttaaaggctc ggtgaaagat ttaggtatca atccggatag gatttcaaaa gttgaaaacc  
 3301 ttaatgcagc ttgttatgaa ttcaaaaatg gcaaaaataaa ggatttcagc aaggtAACG  
 3361 aagcaaaaag cgaccaagaa aattccatta aagatgtgat catcaatcaa aagataacgg  
 3421 ataaaagtta tgaactcaat caagcgtat cagtggctaa aatagcgtgc gatttcagtg  
 3481 gggtagagca agcgttagcc gatctaaaa atttctcaaa ggagcaattt gctcaacaag  
 3541 ctcaaaaaaa tgaaagttt aatgttgaa aatctgaaat ataccaatcc gttagaatg  
 3601 gtgtgaacgg aaccctagtc ggtatggg tatctgaaat agggccaca gctctcgcca  
 3661 aaaattttc ggatatcaag aaagaatttga atgagaaatt taaaatttc aataacaata  
 3721 acaataatgg tctaaaaac ggcggagaac ccatttatgc tcaagttat aaaaagaaaa  
 3781 caggacaagt agctagccct gaagaacccaa ttatgctca agttgctaaa aaggtacta  
 3841 aaaaaattta ccaactcaat caagcagcga caagtggttt cggtaggt gggcaagcgg  
 3901 gcttccctt gaaaaggcat gataaaatgg aagatctca gtaaggtaggg cgatcgtt  
 3961 gcccgtacc catttatgt acaatttgatg atctcggtgg gtcttccct tgaaaaggc  
 4021 atgataaaatgt tgatgatctc agtaaggtt ggccttcaag gaatcaagaa ttgactcaga  
 4081 aaatttgacaa tctcagtcaa gcggtatcag aagctaaagc aggtttttt ggcaatctag  
 4141 aacaaacgat agacaagctc aaagattttcaaaaaacaa tcctgtgaat ctatggctg  
 4201 aaagcgccaa aaaatgtccct gctagttgt cagcgttact agacaattac gctactaaca  
 4261 gcccacacacg cattaatagc aatatccaaa atggagcgt caatgaaaaa ggcggcc  
 4321 ctgaacggca aaaaaacccct gagtggctca aactcgtgaa tgataagatc gttgcgcata  
 4381 atgtgggaag cgttccttgc tcagagttt ataaacatttgg attcagccaa aagaatatga  
 4441 aggattatttgc tgattcggtt aagtttccca ccaagttgaa caatgcccgtt aaagacatta  
 4501 agtctggctt taccaattt ttagccatg cattttctac aggttatttac tccatggcga  
 4561 gagaaaaatgc ggagcatgga atcaaaaaatgc ctaatacaaaa aggtggtttccaaatctt  
 4621 aaaggattaa ggaacacccaa aaacgcacaa accaccccttgc taaaagcaag gggttttt  
 4681 actaaaaata tcccgacacca cactaacggaa aggttttttctttaatggc tgcataagata  
 4741 ttcccttaccc caaaaagact taacccttgc cttaaaatattt aatttgatttgc tgcgttgg  
 4801 ttccgttccctt atagtgcggaa attggg

Model 3100 23\_6\_04A\_B07\_cagA-F#54\_03.ab1  
Version 3.7  
Basecaller-3100APOP6scagA-F#54  
BC 1.5.0.0 Cap 3

Signal G:256 A:417 T:201 C:127  
DT3100POP6{BD}v2.mob  
demo\_3100  
Points 300 to 10106 Pk 1 Loc: 300

Thu, Jun 24, 2004 8:05 AM  
Wed, Jun 23, 2004 10:43 PM  
Spacing: 11.38{11.38}



